

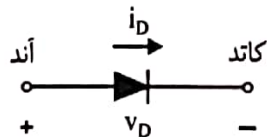
## دیود نیمه‌هادی و مدارهای دیودی

### ۱-۲ چکیده

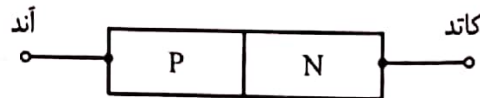
- دیود نیمه‌هادی، به پیوند دو بلور P و N گفته می‌شود که چنانچه در فصل قبل مشاهده شد دارای خاصیت یکسوکنندگی جریان است. ساختمان و نمایش مداری یک دیود نیمه‌هادی به ترتیب در شکل‌های ۱-۲ و ۲-۲ نشان داده شده است. می‌توان نشان داد که رابطه جریان - ولتاژ برای یک دیود نیمه‌هادی به صورت زیر است:

$$i_D \approx I_S (e^{v_D/\eta V_T} - 1)$$

در مشخصه جریان - ولتاژ دیود،  $\eta$  ضریب ثابتی است که به جنس بلور و فناوری ساخت وابسته بوده و مقادیری بین ۱ تا ۲ دارد. معمولاً برای سیلیکن مقدار ۱/۴ و برای ژرمانیم مقدار ۱ به کار می‌رود و در بعضی مواقع جهت سادگی همواره مقدار ۱ برای آن استفاده می‌شود.  $I_S$  جریان اشباع معکوس و  $V_T = KT/q$  می‌باشد که در آن K ثابت بولتزمن است. در دمای اتاق ( $T = 300 \text{ } ^\circ\text{K}$ ) مقدار  $V_T$  برابر ۲۵ یا ۲۶ میلی‌ولت در نظر گرفته می‌شود.



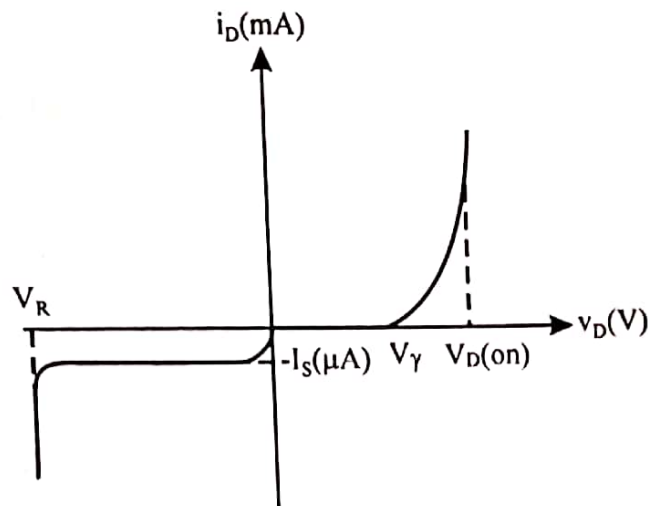
شکل ۲-۲



شکل ۱-۲

- مشخصه جریان - ولتاژ هر دیود معمولی با توجه به شکل ۲-۳ دارای سه ناحیه به ترتیب زیر است:

\* از این پس برای نمایش مقادیر جریان و یا ولتاژ مؤلفه‌های ac و DC از روال زیر استفاده می‌کنیم. مثلاً برای جریان دیود،  $i_d$  مقدار لحظه‌ای سیگنال (ac خالص)،  $I_D$  مقدار DC خالص و  $i_D$  مقدار کل شامل ac و DC است ( $i_D = I_D + i_d$ ). همچنین در مورد سیگنال سینوسی از  $I_d$  برای نمایش فازور آن استفاده می‌شود.



شکل ۲-۳

الف) ناحیه بایاس مستقیم ( $v_D \geq 0$ ): در این ناحیه تا زمانی که  $v_D < V_\gamma$  باشد جریانی از دیود عبور نکرده و به عبارتی دیود خاموش است. وقتی که  $v_D$  به  $V_\gamma$  برسد دیود شروع به هدایت کرده و جریان آن با اندک افزایشی در  $v_D$ ، به سرعت افزایش می‌یابد و اصطلاحاً می‌گویند دیود روشن است. در این حالت ولتاژ دو سر دیود را می‌توان تقریباً ثابت گرفت که کمی بیشتر از  $V_\gamma$  بوده و با  $V_D(\text{on})$  نشان داده می‌شود.  $V_D(\text{on})$  ولتاژ هدایت دیود و  $V_\gamma$  ولتاژ آستانه هدایت نامیده می‌شود و مقادیر آنها به جنس دیود بستگی دارد. در حالت هدایت که  $v_D \gg V_\gamma$  است معادله جریان - ولتاژ را می‌توان به صورت زیر ساده کرد:

$$i_D = I_S e^{v_D / \eta V_T}$$

ب) ناحیه بایاس معکوس ( $V_R \leq v_D \leq 0$ ): در این حالت با توجه به معادله جریان - ولتاژ دیود،  $i_D = -I_S$  است که مقدار ناچیزی می‌باشد. در این ناحیه می‌توان دیود را خاموش فرض کرد.

ج) ناحیه شکست ( $v_D \leq V_R$ ): چنانچه ولتاژ معکوس دیود افزایش یابد و به حد معینی ( $V_R$ ) برسد، جریان معکوس دیود ناگهان افزایش سریعی داشته و ولتاژ دیود تقریباً در  $V_R$  ثابت می‌ماند. این پدیده را شکست گویند که می‌تواند ناشی از ضرب بهمنی یا پدیده شکست زنر باشد. توجه نمایید که معادله جریان - ولتاژ دیود برای این ناحیه صادق نیست.  $V_R$  را ولتاژ شکست معکوس دیود گویند که به جنس دیود و چگالی ناخالصی وابسته بوده و قابل کنترل است.

● جریان اشباع معکوس دیود ناشی از حاملهای اقلیت می‌باشد و با توجه به قانون اثر جرم، چگالی این حاملها با  $n_i^2$  متناسب است؛ بنابراین

الف) چون  $n_i$  به دما وابستگی نسبتاً زیادی دارد، جریان اشباع معکوس شدیداً تابع دما خواهد بود.  
 ب)  $n_i$  برای ژرمانیم بزرگ‌تر از سیلیکن است از این رو دارای حاملهای اقلیت بیشتری است که در نتیجه جریان اشباع معکوس آن نیز بیشتر خواهد بود. جریان اشباع معکوس برای ژرمانیم در حد میکروآمپر و برای سیلیکن در حد نانوآمپر است.

● ولتاژ آستانه هدایت ( $V_{\gamma}$ ) برای دیودهای ژرمانیم تقریباً ۰٫۱ ولت و برای دیودهای سیلیکن تقریباً ۰٫۷ ولت است. ولتاژ هدایت  $V_D(on)$  برای دیودهای ژرمانیم معمولاً ۰٫۲ ولت و برای دیودهای سیلیکن ۰٫۷ ولت در نظر گرفته می‌شود.

● مقاومت استاتیکی دیود در هر نقطه کار (Q) از مشخصه آن عبارت است از نسبت ولتاژ به جریان دیود در آن نقطه کار، یعنی

$$R_S = \left. \frac{v_D}{i_D} \right|_Q = \frac{V_{DQ}}{I_{DQ}}$$

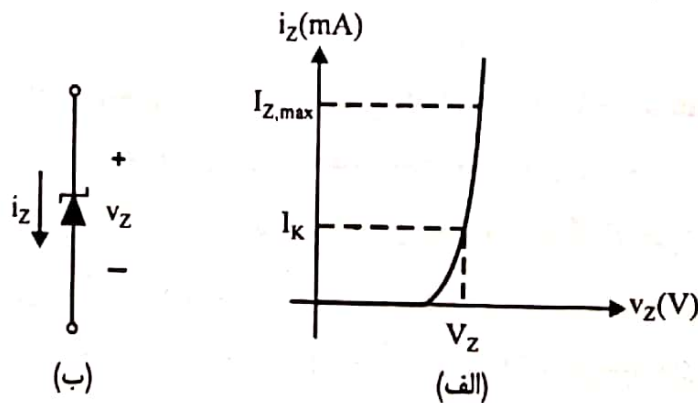
● مقاومت دینامیکی دیود، در واقع مقاومت از دید سیگنال کوچک می‌باشد و عبارت است از نسبت تغییرات ولتاژ به تغییرات جریان دیود حول نقطه کار، یعنی

$$r_d = \frac{\Delta v_D}{\Delta i_D} \cong \left( \frac{d i_D}{d v_D} \right)^{-1} \Big|_Q = \frac{\eta V_T}{I_{DQ} + I_S}$$

نظر به اینکه در بایاس معکوس  $I_{DQ} = -I_S$  است، بنابراین  $r_d$  در این حالت بی‌نهایت می‌شود. اما در بایاس مستقیم که  $I_{DQ} \gg I_S$  است  $r_d$  به صورت زیر به دست می‌آید:

$$r_d \cong \frac{\eta V_T}{I_{DQ}}$$

● دیود زبر: مشخصه جریان و ولتاژ و نمایش مداری دیود زبر در شکل ۲-۴ نشان داده شده است. این دیود معمولاً در ناحیه شکست بایاس گردیده و به عنوان تنظیم کننده ولتاژ به کار می‌رود. در بایاس مستقیم مشخصه آن با دیودهای معمولی تفاوتی ندارد. ولتاژ شکست معکوس دیود زبر به چگالی ناخالصی بستگی دارد و در صورتی که شکست ناشی از پدیده زبر باشد، با افزایش ناخالصی،  $V_Z$  کاهش می‌یابد. دیودهای زبر با ولتاژها و توانهای مختلف به صورت تجارتي در دسترس می‌باشد. با توجه به مشخصه دیود زبر، برای آنکه به عنوان تنظیم کننده ولتاژ به کار رود باید جریان آن بین یک مقدار حداقل ( $I_K$ ) و یک مقدار حداکثر ( $I_{Z,max}$ ) محدود گردد.



شکل ۲-۴

● دیود خارجی (ورستور): در یک پیوند P-N می‌توان نواحی P و N و ناحیه تهی را به یک خازن تشبیه کرد. دیودهایی که صرفاً به منظور خازن متغیر ساخته می‌شوند، ورکتور نام دارند و در ناحیه معکوس بایاس می‌گردند. نمایش مداری ورکتور در شکل ۲-۵ نشان داده شده است.



شکل ۲-۵

ظرفیت خازنی ناحیه تهی در واحد سطح، با فرض چگالی ناخالصی یکنواخت برابر است با

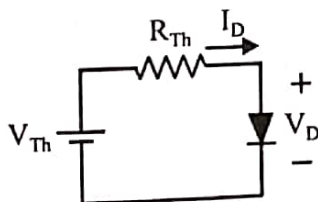
$$C_T = C_{T_0} \left(1 + \frac{V_r}{V_0}\right)^{-1/2} = \frac{1}{\sqrt{1 + \frac{V_r}{V_0}}}$$

$$C_{T_0} = \left[ \frac{q\epsilon N_A N_D}{2V_0(N_A + N_D)} \right]^{1/2}$$

در این رابطه  $V_r$  ولتاژ معکوس،  $V_0$  اختلاف پتانسیل تماس و  $\epsilon$  ضریب دی‌الکتریک ناحیه تهی است.

### تحلیل مدارهای دیودی

● به دلیل غیرخطی بودن مدارهای دیودی، برای تجزیه و تحلیل آنها، به طور کلی روش منظمی وجود ندارد. در ساده‌ترین حالت می‌توان یک مدار مقاومتی را به همراه یک دیود در نظر گرفت. با فرض اینکه مدار معادل تونن از دو سر دیود را قرار دهیم (شکل ۲-۶)، خط بار مدار از معادله KVL برابر است با



شکل ۲-۶

$$V_{Th} = R_{Th} I_D + V_D$$

$$\Rightarrow I_D = \frac{1}{R_{Th}} (V_{Th} - V_D)$$

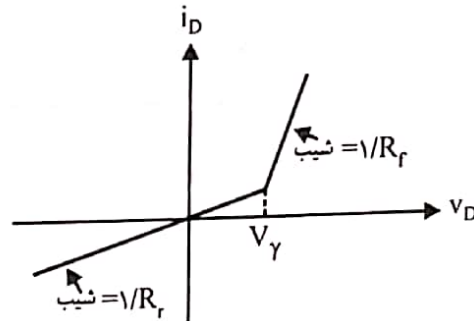
با توجه به مقدار  $V_{Th}$ ، به راحتی می‌توان تشخیص داد که دیود در ناحیه مستقیم یا ناحیه معکوس بایاس گردیده است. سپس با استفاده از یکی از مدل‌های دیود، مدار حل می‌شود.

● **مدلهای دیود:** برای حل مدارهای دیودی دو نوع مدل برای دیود در نظر گرفته می‌شود که عبارتند از

الف) مدل ایده‌آل: در این مدل، دیود در بایاس مستقیم به صورت اتصال کوتاه و در بایاس معکوس به صورت اتصال باز در نظر گرفته می‌شود. به دلیل سادگی از این مدل در مدارهای چند دیودی و موارد عملی استفاده می‌شود و جواب حاصل، تقریب بسیار خوبی از حالت واقعی خواهد بود. برای اینکه این تقریب به حالت واقعی نزدیک‌تر شود، دیود را در حالت بایاس مستقیم با یک منبع ولتاژ با مقدار  $V_D(on)$  جایگزین می‌نمایند.



ب) مدل خطی پاره‌ای دیود: در بایاس مستقیم و در حالت  $v_D > V_\gamma$ ، دیود با یک منبع ولتاژ و مقاومت سری  $R_f$  جایگزین می‌گردد و در بایاس معکوس توسط مقاومت بزرگ  $R_r$  مدل می‌شود. این مدل در شکل ۷-۲ نمایش داده شده است.



شکل ۷-۲

## روشهای حل مدارهای دیودی

الف) چنانچه منحنی مشخصه دیود به کار رفته در یک مدار معلوم باشد، کافی است خط بار را روی آن رسم کرده و نقطه برخورد خط بار و منحنی مشخصه و در نتیجه جریان و ولتاژ دیود را به دست آورد. در غیر این صورت با توجه به ناحیه کار دیود و با به کارگیری یکی از مدل‌های دیود، آن را جایگزین و مدار را حل می‌نماییم

ب) در صورتی که معادله جریان - ولتاژ دیود معلوم باشد، ابتدا خط بار را به دست آورده و سپس دو معادله و دو مجهول را به روش عددی به صورت زیر حل نمایید:

$$I_D = \frac{1}{R_{Th}} (V_{Th} - V_D) \quad , \quad I_D = I_S (e^{V_D/\eta V_T} - 1)$$

$$\Rightarrow \frac{V_{Th} - V_D}{R_{Th} I_S} + 1 = e^{V_D/\eta V_T}$$

روش سعی و خطا برای حل این معادله وقت‌گیر است از این رواز یک روش محاسبات عددی که مراحل آن در زیر توضیح داده شده استفاده کنید:

ابتدا برای اینکه محاسبه و اگر نشود از طرفین معادله فوق لگاریتم گرفته تا حالت نمایی آن حذف گردد.

$$V_D = \eta V_T \text{Ln} \left( \frac{V_{Th} - V_D}{R_{Th} I_S} \right) = f(V_D)$$

سپس با توجه به جنس دیود یک مقدار اولیه مناسب برای  $V_D$  انتخاب کرده و برنامه‌ای کوتاه برای روندنمای نشان داده شده در شکل ۸-۲ بنویسید. روندنمای مزبور برای معادله اخیر از همگرایی خوبی برخوردار بوده و معمولاً جواب می‌دهد.

در روابط فوق  $V_{dc}$  و  $I_{dc}$  به ترتیب ولتاژ و جریان مستقیم بار  $R_L$ ، فرکانس برق ورودی،  $C$  مقدار خازن صافی،  $V_r$  ولتاژ ریپل و  $V_m$  دامنه ولتاژ سینوسی در خروجی ثانویه ترانسفورماتور است.

• در یکسوساز تمام موج با صافی خازنی مقدار DC ولتاژ خروجی برابر است با

$$V_{dc} = V_m - \frac{1}{\sqrt{3}} V_r - m V_D(\text{on}), \quad V_r = \frac{I_{dc}}{2fC} = \frac{V_{dc}}{2R_L fC}$$

$m$  برای یکسوساز با ترانسفورماتور سر وسط برابر ۱ و برای یکسوساز پل برابر ۲ است.

• می توان نشان داد که در یکسوساز تمام موج ولتاژ مؤثر ریپل با ولتاژ ریپل دارای رابطه زیر است:

$$v_r(\text{rms}) = \frac{V_r}{2\sqrt{3}}$$

• ضریب ریپل به صورت زیر تعریف می گردد:

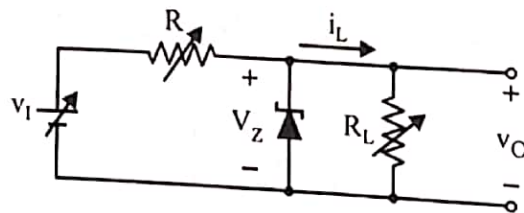
$$\% \text{r.f.} = \frac{v_r(\text{rms})}{V_{dc}} \times 100$$

• برای یک تنظیم کننده ولتاژ با استفاده از دیود زنر (شکل ۲-۹)، طراحی باید به گونه ای باشد که جریان زنر

در محدوده  $I_K$  تا  $I_{Z,\text{max}}$  تغییر کند. بنابراین

$$i_{Z,\text{max}} \geq \frac{v_{I,\text{max}} - V_Z}{R_{\text{min}}} - i_{L,\text{min}}, \quad I_K \leq \frac{v_{I,\text{min}} - V_Z}{R_{\text{max}}} - i_{L,\text{max}}$$

$$i_{L,\text{max}} = \frac{V_Z}{R_{L,\text{min}}}, \quad i_{L,\text{min}} = \frac{V_Z}{R_{L,\text{max}}}$$



شکل ۲-۹

## ۲-۲ مسائل نمونه

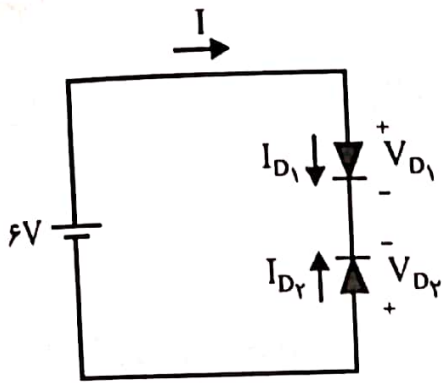
۱. برای یک دیود سیلیکنی  $N_D = 10^{15} \text{cm}^{-3}$ ،  $N_A \gg N_D$ ،  $\epsilon = 12\epsilon_0$  و  $V_0 = 0.5 \text{V}$  می باشد. در

صورتی که یک ولتاژ معکوس ۱۰ ولتی به آن اعمال شود، مطلوب است:

(الف) عرض ناحیه تهی ( $W$ ).

(ب) مقدار شدت میدان الکتریکی در محل پیوند.

(ج) مقدار ظرفیت خازنی ناحیه تهی.



شکل ۱۱-۲

۱۹. در مدار شکل ۱۱-۲ دیودها مشابه، از نوع سیلیکن و دارای  $I_S = 10 \text{ nA}$  می‌باشند ( $V_T = 26 \text{ mV}$  و  $\eta = 2$ ).  
 الف) در صورتی که ولتاژ شکست دیودها برابر ۱۰ ولت باشد، جریان  $I$  مدار و ولتاژ دو سر هر دیود را به دست آورید.  
 ب) با فرض اینکه ولتاژ شکست دیودها برابر ۵ ولت باشد جریان  $I$  مدار و ولتاژ دو سر هر دیود چقدر خواهد بود؟

حل: الف) در این حالت دیود  $D_2$  که به صورت معکوس بایاس شده وارد ناحیه شکست نمی‌شود و جریان  $I$  برابر جریان اشباع معکوس این دیود خواهد شد. بنابراین ولتاژ دو سر دیود  $D_1$  برابر است با

$$I_{D_1} = I_S (e^{V_{D_1}/\eta V_T} - 1) \Rightarrow I_S = I_S (e^{V_{D_1}/\eta V_T} - 1) \Rightarrow V_{D_1} = 36 \text{ mV}$$

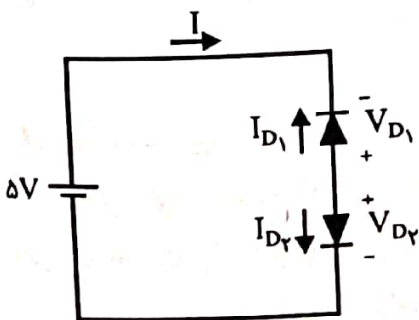
$$V_{D_2} = -6 + V_{D_1} = -5.964 \text{ V}$$

ب) در این حالت دیود  $D_1$  هدایت می‌کند و چون ولتاژ معکوس دو سر دیود  $D_2$  بیشتر از ولتاژ شکست آن است، این دیود وارد ناحیه شکست می‌شود. بنابراین

$$V_{D_2} = -5 \text{ V} \Rightarrow V_{D_1} = 6 + V_{D_2} = 1 \text{ V}$$

در این حالت جریان مدار توسط دیود  $D_1$  تعیین می‌شود که برابر است با

$$I = I_{D_1} = I_S (e^{V_{D_1}/\eta V_T} - 1) = 2.25 \text{ A}$$



شکل ۱۲-۲

۲۰. در مدار شکل ۱۲-۲ دیودها مشابه و از جنس ژرمانیم با ولتاژ شکست بیشتر از ۵ ولت است ( $V_T = 26 \text{ mV}$  و  $\eta = 2$ ).  
 الف) ولتاژ دو سر هر دیود را در دمای اتاق بیابید. توجه نمایید که نتیجه مستقل از جریان اشباع معکوس است.  
 ب) چنانچه ولتاژ شکست دیودها برابر ۴٫۹ ولت و جریان اشباع معکوس  $5 \mu\text{A}$  باشد، جریان مدار چقدر است؟

ج) با فرض ولتاژ شکست ۲ ولت و جریان اشباع معکوس  $5\mu A$ ، جریان مدار را محاسبه کنید.  
 د) در بند قبل با فرض وجود یک مقاومت  $100\ \Omega$  به صورت سری در مدار، جریان مدار چقدر خواهد بود؟  
 حل: الف) دیود  $D_1$  به صورت معکوس بایاس شده است ولی وارد ناحیه شکست نمی‌گردد. بنابراین

$$I_{D_1} = -I_{D_2} = -I_S$$

که  $I_S$  جریان اشباع معکوس دیود  $D_1$  است. حال ولتاژ دو سر دیود  $D_2$  را که به صورت مستقیم بایاس شده است می‌یابیم.

$$I_{D_2} = I_S \left( e^{V_{D_2}/\eta V_T} - 1 \right) \Rightarrow I_S = I_S \left( e^{V_{D_2}/2 \times 0.026} - 1 \right)$$

$$\Rightarrow V_{D_2} \approx 36\text{ mV} \Rightarrow V_{D_1} = V_{D_2} - 5 = -4.96\text{ V}$$

ب) با توجه به نتیجه بند قبل، در این حالت دیود  $D_1$  وارد ناحیه شکست می‌شود. بنابراین

$$V_{D_1} = -4.9\text{ V} \Rightarrow V_{D_2} = 5 - 4.9 = 0.1\text{ V}$$

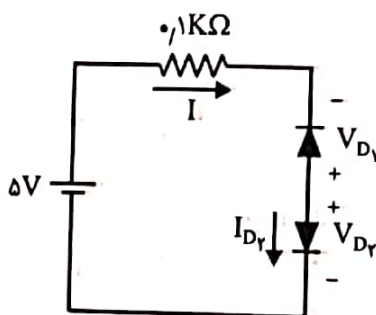
پس جریان مدار توسط دیود  $D_2$  تعیین می‌شود که برابر است با

$$I_{D_2} = 5 \left( e^{0.1/2 \times 0.026} - 1 \right) \approx 29.21\ \mu A$$

ج) در این حالت نیز دیود  $D_1$  در ناحیه شکست قرار می‌گیرد. پس

$$V_{D_1} = -2\text{ V} \Rightarrow V_{D_2} = 5 - 2 = 3\text{ V}!$$

$$\Rightarrow I_{D_2} = 5 \times 10^{-6} \left( e^{3/2 \times 0.026} - 1 \right) = 5.68 \times 10^{-9}\text{ A}!$$



شکل ۱۳-۲

د) در این حالت مدار به صورت شکل ۲-۱۳ خواهد بود و دیود  $D_1$  در ناحیه شکست قرار خواهد داشت و داریم

$$V_{D_1} = -2\text{ V}$$

$$\Rightarrow V_{D_2} = 5 - 2 - 0.1I \Rightarrow I = 30 - 10V_{D_2}$$

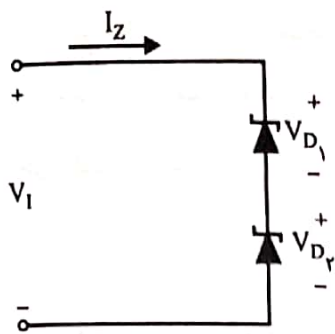
از طرفی

$$I = I_{D_2} \approx 5 \times 10^{-6} e^{19.23V_{D_2}} \Rightarrow \ln(30 - 10V_{D_2}) + 5.3 = 19.23V_{D_2}$$

توجه کنید جریانها بر حسب میلی آمپر در نظر گرفته شده‌اند. از حل عددی این معادله داریم

$$V_{D_2} = 0.444\text{ V} , I_{D_2} = I = 25.56\text{ mA}$$





شکل ۲-۱۴

۲۱. در شکل ۱-۱۱ جریان اشباع معکوس دیودها به ترتیب ۱ و ۲ میکروآمپر است. ولتاژ شکست دو دیود مساوی و برابر ۱۰۰ ولت است.  
الف) جریان و ولتاژ هر دیود را برای ولتاژهای ورودی ۸۰ و ۱۲۰ ولت به دست آورید.  
ب) برای حالتی که هر دیود با یک مقاومت  $8\text{ M}\Omega$  موازی شود، بند الف) را حل نمایید.

حل: الف) به ازای ورودی  $80\text{ V}$ ، هیچ‌کدام از دیودها وارد ناحیه شکست نمی‌شوند. بنابراین جریان مدار برابر جریان اشباع معکوس کوچک‌تر خواهد بود؛ چراکه در غیر این صورت دیود با جریان اشباع معکوس کوچک‌تر وارد ناحیه شکست می‌شود که غیر ممکن است. بنابراین

$$I_Z = I_{S_1} = 1\mu\text{A}$$

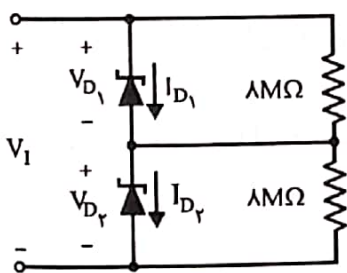
ولتاژ دو سر دیود  $D_2$  چنین به دست می‌آید:

$$I_{D_2} = I_{S_2} (e^{-V_{D_2}/\eta V_T} - 1) \Rightarrow -1 = 2 (e^{-V_{D_2}/2 \times 26} - 1) \Rightarrow V_{D_2} = 36\text{mV}$$

$$V_{D_1} = 80 - V_{D_2} = 79.964\text{V}$$

به ازای ورودی  $120\text{ V}$ ، فقط یکی از دیودها می‌تواند وارد ناحیه شکست شود، بنابراین دیود با جریان اشباع معکوس کوچک‌تر یعنی دیود  $D_1$  وارد ناحیه شکست شده و جریان مدار برابر جریان اشباع معکوس بزرگ‌تر یعنی جریان اشباع معکوس دیود  $D_2$  که  $2\mu\text{A}$  است، می‌شود. بنابراین

$$V_{D_1} = 100\text{V} \Rightarrow V_{D_2} = 120 - V_{D_1} = 20\text{V}$$



شکل ۲-۱۵

ب) در این حالت مدار به صورت شکل ۲-۱۵ خواهد بود. به ازای ورودی  $80\text{ V}$  با فرض اینکه هیچ‌کدام از دیودها وارد ناحیه شکست نشوند، از KVL و KCL داریم

$$V_{D_1} + V_{D_2} = V_I, \quad \frac{V_{D_1}}{8} + I_{S_1} = \frac{V_{D_2}}{8} + I_{S_2}$$

از حل این دو معادله به ازای  $V_I = 80\text{ V}$  داریم

$$V_{D_1} = 44\text{V}, \quad V_{D_2} = 36\text{V}$$

بنابراین فرض فوق صحیح است. به ازای ورودی  $120\text{ V}$  نیز داریم

$$V_1 = 64\text{V}, \quad V_2 = 56\text{V}$$

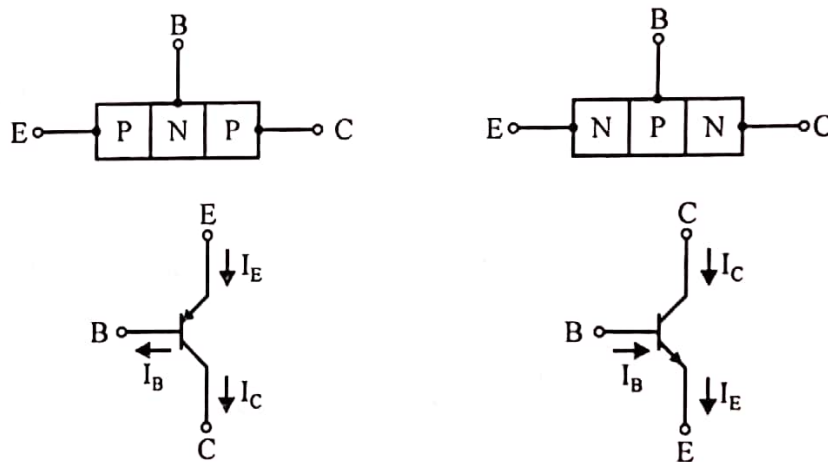
در این حالت نیز هیچ‌کدام از دیودها وارد ناحیه شکست نمی‌شوند و به ازای هر دو ورودی جریان دیودها برابر جریان اشباع معکوس آنها خواهد بود.

۳

## ترانزیستور پیوندی دو قطبی

### ۱-۳ چکیده

● نماد مداری و شمای ساده ساختمان دو نوع ترانزیستور NPN و PNP و همچنین جهت جریان سرهای ترانزیستور در شکل ۱-۳ نمایش داده شده است.



شکل ۱-۳

● امیتر یا منتشر کننده، حاملهای اکثریت خود را از طریق بیس به طرف کلکتور انتشار می دهد و کلکتور یا جمع کننده، حاملهای تزریقی امیتر به بیس را جذب می کند. بنابراین جریان کلکتور توسط جریان بیس یا امیتر کنترل می شود و در نتیجه ترانزیستور پیوندی را می توان یک منبع جریان کنترل شونده توسط جریان در نظر گرفت.

● در ایجاد جریان سرهای ترانزیستور، هر دو نوع حامل اقلیت و اکثریت دخالت دارند.

● نسبت آن بخش از جریان امیتر که ناشی از حاملهای اکثریت است به کل جریان امیتر را بازده تزریق امیتر گفته و با  $\gamma$  نمایش می دهند. برای افزایش بازده تزریق امیتر، چگالی ناخالصی امیتر را نسبت به چگالی ناخالصی کلکتور و بیس بیشتر می گیرند.

- نسبت مؤلفه‌ای از جریان کلکتور که ناشی از حاملهای جذب شده می‌باشد به مؤلفه‌ای از جریان امیتر که ناشی از حاملهای تزریقی از طرف امیتر است را ضریب انتقال بیس گویند و با  $\alpha^*$  نمایش می‌دهند.  $\alpha^*$  در حقیقت نشان می‌دهد که چند درصد از حاملهای تزریق شده توسط امیتر از بیس عبور کرده و به کلکتور می‌رسند.
  - برای افزایش ضریب انتقال بیس، لایه بیس را نازک و چگالی ناخالصی آن را کمتر می‌گیرند. همچنین کلکتور حجیم‌تر و سطح مقطع مشترک آن با بیس بزرگ انتخاب می‌شود. از این رو ترانزیستور پیوندی دارای ساختمان غیرمتقارن است و نمی‌توان سرهای امیتر و کلکتور آن را به جای یکدیگر استفاده کرد.
  - نواحی کار ترانزیستور: ملاحظه می‌شود که ترانزیستور دارای دو پیوند بیس-امیتر (BE) و بیس-کلکتور (BC) است. بنابراین صرف‌نظر از نوع ترانزیستور (NPN یا PNP) و بسته به نحوه بایاس این دو پیوند، سه ناحیه کار فعال، اشباع و قطع برای ترانزیستور پیوندی تعریف می‌شود.
- الف) ناحیه فعال: پیوند BE به صورت مستقیم و پیوند BC به صورت معکوس بایاس می‌گردد. بنابراین چنانچه ترانزیستور از نوع NPN باشد داریم

$$V_{BE(on)} \approx \begin{cases} 0.7V & \text{برای ترانزیستور از جنس سیلیکن} \\ 0.2V & \text{برای ترانزیستور از جنس ژرمانیم} \end{cases}$$

$$V_{CB} \begin{cases} > -0.5V & \text{برای ترانزیستور از جنس سیلیکن} \\ > -0.2V & \text{برای ترانزیستور از جنس ژرمانیم} \end{cases}$$

با نوشتن KVL حول ترانزیستور می‌توان  $V_{CE}$  را به صورت زیر به دست آورد:

$$V_{CE} = V_{CB} + V_{BE}$$

بنابراین در ناحیه فعال، شرایط زیر برای  $V_{CE}$  برقرار است:

$$V_{CE} \begin{cases} > 0.2V & \text{برای ترانزیستور از جنس سیلیکن} \\ > 0.7V & \text{برای ترانزیستور از جنس ژرمانیم} \end{cases}$$

برای ترانزیستور PNP دقیقاً همین شرایط، متها برای ولتاژهای  $V_{EB}$ ،  $V_{BC}$  و  $V_{EC}$  برقرار می‌باشد. (ب) ناحیه اشباع: هر دو پیوند BE و BC به صورت مستقیم بایاس می‌شوند. در این حالت  $|V_{CE}|$  مقدار ثابتی خواهد بود و با  $|V_{CE}(sat)|$  نشان داده می‌شود. به عنوان مثال برای ترانزیستور NPN داریم

$$V_{CE}(sat) \approx \begin{cases} 0.2V & \text{برای ترانزیستور از جنس سیلیکن} \\ 0.7V & \text{برای ترانزیستور از جنس ژرمانیم} \end{cases}$$

در مورد ترانزیستور نوع PNP ولتاژ  $V_{EC}$  دارای مقادیر فوق است.  $V_{BE}$  در حالت اشباع را با  $V_{BE}(sat)$  نشان می‌دهند که معمولاً کمی بزرگ‌تر از  $V_{BE(on)}$  است.

ج) ناحیه قطع: هر دو پیوند BE و BC در حالت قطع هستند. اگر در طراحی، هدف قرار دادن ترانزیستور در ناحیه قطع باشد،  $V_{BE}$  را کمی کمتر از ولتاژ آستانه هدایت پیوند BE در نظر می‌گیرند. برای ترانزیستور NPN جهت اطمینان از قطع کامل، ولتاژ  $V_{BE}$  را به صورت زیر در نظر می‌گیرند:

$$V_{BE}(\text{cut}) \approx \begin{cases} 0 \text{ V} & \text{برای ترانزیستور از جنس سیلیکن} \\ -0.1 \text{ V} & \text{برای ترانزیستور از جنس ژرمانیم} \end{cases}$$

● روابط جریان و ولتاژ سرهای ترانزیستور: با استفاده از قوانین KVL و KCL همواره روابط زیر بین جریان و ولتاژ سرهای یک ترانزیستور برقرار است:

$$I_E = I_C + I_B$$

$$V_{CE} = V_{CB} + V_{BE}$$

الف) روابط جریان و ولتاژ در ناحیه فعال: در این ناحیه جریان کلکتور دارای دو مؤلفه است. یک مؤلفه ناشی از بایاس معکوس پیوند BC است که در واقع همان جریان اشباع معکوس بوده و با  $I_{CBO}$  یا  $I_{CO}$  نمایش داده می‌شود. مؤلفه دیگر ناشی از حامل‌های تزریق شده از سوی امیتر است که توسط کلکتور جمع می‌گردند. می‌توان نشان داد که این مؤلفه با جریان امیتر  $I_E$  متناسب است. ضریب این تناسب را بهره جریان سیگنال بزرگ مدار بیس مشترک گویند و با  $\alpha$  نمایش می‌دهند. همچنین می‌توان به راحتی دید که  $\alpha$  برابر حاصل ضرب  $\alpha^*$  و  $\beta$  است. بنابراین برای جریان کلکتور در ناحیه فعال داریم

$$I_C = \alpha I_E + I_{CBO}$$

معمولاً در ناحیه فعال می‌توان از جریان اشباع معکوس صرف‌نظر کرد؛ که در این صورت معادله فوق به صورت ساده  $I_C = \alpha I_E$  در می‌آید.  $\alpha$  برای ترانزیستورهای مختلف، بسته به ضریب انتقال بیس و بازده امیتر، بین ۰.۹ تا ۰.۹۹۵ متغیر است. با توجه به معادله اخیر برای جریان کلکتور در ناحیه فعال، جریان کلکتور مستقیماً به ولتاژ  $|V_{CB}|$  وابسته نیست؛ چراکه جریان  $I_E$  به مدار بایاس BE بستگی داشته و جریان اشباع معکوس  $I_{CBO}$  نیز تا قبل از ناحیه شکست تقریباً مستقل از  $|V_{CB}|$  است. بنابراین به ازای یک جریان  $I_E$  ثابت، جریان کلکتور به ازای مقادیر مختلف  $|V_{CB}|$  ثابت می‌شود، اما به دلیل وقوع پدیده مدولاسیون عرض بیس (اثر اِرلی) جریان  $I_C$  تغییرات کمی داشته و ثابت نخواهد بود.

اثر اِرلی: با افزایش ولتاژ معکوس پیوند CB، پیشرفتگی ناحیه تهی در لایه بیس بیشتر شده و عرض مؤثر بیس (عرض ناحیه خنثی) کاهش می‌یابد که باعث می‌گردد درصد کمتری از حامل‌های تزریقی امیتر ترکیب مجدد شوند. به عبارت دیگر ضریب انتقال بیس  $\alpha^*$  و در نتیجه  $\alpha$  افزایش می‌یابد. به این ترتیب در ناحیه فعال و با ثابت بودن جریان امیتر، چنانچه ولتاژ معکوس پیوند CB افزایش یابد جریان  $I_C$  نیز اندکی افزایش خواهد یافت.



در ناحیه فعال می توان جریانهای کلکتور و امیتر را بر حسب جریان بیس به صورت زیر نوشت:

$$I_C = \alpha I_E + I_{CBO} = \beta I_B + (\beta + 1) I_{CBO}$$

$$I_E = I_C + I_B = (\beta + 1) I_B + (\beta + 1) I_{CBO}$$

$\beta$  در روابط فوق برابر  $\alpha / (1 - \alpha)$  است و بهره جریان مدار امیتر مشترک نامیده می شود. تغییر کوچکی در  $\alpha$  باعث تغییر بزرگی در مقدار  $\beta$  خواهد شد.  $\beta$  از مشخصات ترانزیستور بوده و معمولاً حدود مقادیر آن توسط سازنده داده می شود. معمولاً به دلیل ناچیز بودن  $I_{CBO}$  در دمای معمولی، خصوصاً در ترانزیستورهای از جنس سیلیکن، روابط فوق برای ناحیه فعال به صورت ساده زیر در می آیند:

$$I_C = \beta I_B, \quad I_E = (\beta + 1) I_B$$

ب) روابط جریان و ولتاژ در ناحیه اشباع: در این ناحیه  $|V_{CE}|$  حداقل مقدار خود یعنی  $|V_{CE}(sat)|$  و در نتیجه جریان کلکتور حداکثر مقدار خود، یعنی  $I_C(sat)$  را دارد. بنابراین در این ناحیه رابطه  $I_C = \beta I_B$  به نامساوی  $I_C(sat) < \beta_{min} I_B$  تبدیل می شود. لازم به یادآوری است که  $I_B$  در ناحیه فعال با  $I_B$  در ناحیه اشباع متفاوت است (در صورتی که سایر پارامترها ثابت باشند).

ج) روابط جریان و ولتاژ در ناحیه قطع: شرایط قطع برای ترانزیستور پیوندی،  $I_E = 0$  است. بنابراین در این ناحیه داریم

$$I_C = \alpha I_E + I_{CBO} = I_{CBO}$$

$$I_B = I_E - I_C = -I_{CBO}$$

توجه نمایید که مدار باز کردن بیس به مفهوم قطع بودن ترانزیستور نیست. در این حالت  $I_B = 0$  است و در نتیجه داریم

$$I_C = I_E = (\beta + 1) I_{CBO} \gg I_{CBO}$$

● جریان اشباع معکوس پیوند CB یعنی  $I_{CBO}$  به ازای هر  $10^\circ C$  افزایش دما، دو برابر می شود. بنابراین بین  $I_{CBO}$  در دمای  $T_2$  و  $I_{CBO}$  در دمای  $T_1$  رابطه زیر برقرار است:

$$I_{CBO}(T_2) = I_{CBO}(T_1) \times 2^{(T_2 - T_1) / 10}$$

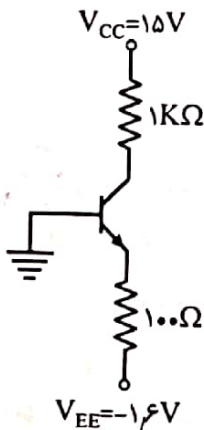
- جریان اشباع معکوس  $I_{CBO}$  برای ترانزیستورهای ژرمانیم نسبت به سیلیکن قابل ملاحظه تر می باشد. چرا که ژرمانیم به دلیل داشتن  $n_i$  بزرگتر دارای چگالی حامل اقلیت بیشتری است.
- منظور از تجزیه و تحلیل یک مدار ترانزیستوری، تعیین ناحیه کار، جریان و ولتاژ سرهای ترانزیستور می باشد.

- در تجزیه و تحلیل مدارهای ترانزیستوری نیز همانند مدارهای دیودی چون با یک مدار غیر خطی سرو کار داریم، روش «فرض - حل مدار - بررسی درستی فرض» به کار می‌رود. به عنوان مثال فرض ناحیه فعال را در نظر می‌گیریم و مدار را تحلیل کرده، سپس شرط ناحیه فعال را بررسی می‌کنیم؛ چنانچه به تناقض نرسیدیم، فرض ناحیه فعال صحیح است. در غیر این صورت ترانزیستور در ناحیه اشباع یا قطع خواهد بود.
- با توجه به ساختمان غیر متقارن ترانزیستور پیوندی، مجاز به جابه جایی سرهای کلکتور و امیتر نیستیم. چنانچه از سر کلکتور به عنوان امیتر و بلعکس استفاده شود،  $\beta$  ترانزیستور کاهش زیادی خواهد داشت (چرا؟).
- نقطه کار ترانزیستور: نقطه‌ای از مشخصه ترانزیستور است که مختصات آن، جریان و ولتاژ DC سرهای ترانزیستور را مشخص می‌کند. معمولاً از جریان کلکتور ( $I_C$ ) و ولتاژ کلکتور-امیتر ( $V_{CE}$ ) برای مشخص کردن نقطه کار به صورت  $Q(I_{CQ}, V_{CEQ})$  استفاده می‌شود.
- در فیزیک الکترونیک می‌توان نشان داد که جریان کلکتور ترانزیستور پیوندی دارای رابطه‌ای به صورت زیر است:

$$I_C = I_S \left[ \exp \left( \frac{V_{BE}}{V_T} \right) \left( 1 + \frac{V_{CE}}{V_A} \right) \right]$$

که در آن  $V_A$  ولتاژ اِرلی نام دارد و برای اکثر ترانزیستورها بزرگ‌تر از ۱۰۰ ولت است. مقدار این ولتاژ برای ترانزیستورهای مدار مجتمع حدود ۵۰ تا ۱۰۰ ولت است.

### ۲-۳ مسائل نمونه



- ۱) در مدار شکل ۲-۳، ترانزیستور دارای  $\beta = 9$  و  $|V_{BE(on)}| = 0.7V$  می‌باشد.  
 الف) مقادیر جریانهای  $I_C$ ،  $I_B$  و ولتاژ  $V_{CE}$  را محاسبه نمایید.  
 ب) به ازای  $V_{CC} = 5V$ ، مقادیر فوق را به دست آورید.  
 ج) برای  $V_{CC} = 5V$  به ازای چه مقداری از  $V_{EE}$ ، ترانزیستور در مرز اشباع قرار می‌گیرد؟ ( $V_{BE(sat)} = 0.8V$  و  $|V_{CE(sat)}| = 0.2V$ )  
 حل: الف) با فرض فعال بودن ترانزیستور، از KVL در حلقه BE داریم

شکل ۲-۳

$$V_{BE(on)} + 0.1 I_E + V_{EE} = 0 \Rightarrow I_E = 9 \text{ mA}$$

$$I_C = \frac{\beta}{\beta + 1} I_E = 8.1 \text{ mA}, \quad I_B = \frac{I_C}{\beta} = 0.9 \text{ mA}$$

$$V_{CE} = V_{CC} - 1 \times I_C - 0.1 I_E - V_{EE} = 7.6 \text{ V} > 0.2 \text{ V}$$

که فرض ناحیه فعال را تأیید می‌کند. ولتاژ بیس - کلکتور نیز برابر است با

$$V_{BC} = V_{BE} - V_{CE} = -6,9V < 0,5V$$

ب) در این حالت می‌توان دید که فرض ناحیه فعال نادرست خواهد بود، پس ترانزیستور در ناحیه اشباع است و از KVL در حلقه BE داریم

$$V_{BE}(\text{sat}) + 0,1 I_E + V_{EE} = 0 \Rightarrow I_E = 8 \text{ mA}, V_{CE} = V_{CE}(\text{sat}) = 0,2V$$

از KVL در حلقه CE داریم

$$V_{CC} = 1 \times I_C(\text{sat}) + V_{CE}(\text{sat}) + 0,1 I_E + V_{EE} \Rightarrow I_C(\text{sat}) = 5,6 \text{ mA}$$

$$I_B = I_E - I_C = 2,4 \text{ mA} \Rightarrow \beta I_B = 21,6 \text{ mA} > I_C(\text{sat})$$

مشاهده می‌شود شرط اشباع بودن ترانزیستور برقرار است.

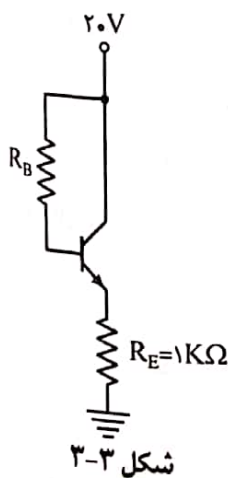
ج) ملاحظه شد که به ازای  $V_{CC} = 5V$  ترانزیستور در ناحیه اشباع قرار گرفته است. حال  $V_{EE}$  را چنان تغییر می‌دهیم که نقطه کار به مرز ناحیه اشباع و فعال منتقل گردد. در مرز این دو ناحیه می‌توان مقادیر ولتاژ و جریان را به صورت زیر در نظر گرفت:

$$V_{CE}(\text{sat}) = 0,2V, I_C(\text{sat}) = \beta I_B, V_{BC} = 0,5V, V_{BE} = 0,7V$$

با نوشتن KVL در حلقه CB داریم

$$V_{BC} - 1 \times I_C(\text{sat}) + V_{CC} = 0 \Rightarrow I_C(\text{sat}) = 5,5 \text{ mA}, I_E = \left( \frac{\beta + 1}{\beta} \right) I_C(\text{sat}) \approx 6,11 \text{ mA}$$

$$I_E = \frac{0 - V_{BE} - V_{EE}}{0,1} = 6,11 \Rightarrow V_{EE} = -1,31V$$



شکل ۳-۳

۲. برای ترانزیستور مدار شکل ۳-۳، فرض کنید  $\beta = 100$  و  $V_{BE}(\text{on}) = 0,7V$  است.

الف)  $R_B$  را طوری تعیین کنید که  $V_{CE} = 10V$  گردد.

ب) در صورتی که  $\beta$  ترانزیستور برابر ۱۵۰ باشد، با  $R_B$  محاسبه شده در بند قبلی،  $V_{CE}$  چقدر خواهد بود؟

حل: الف) با نوشتن KVL در حلقه CE داریم

$$V_{CE} = 20 - R_E I_E \Rightarrow I_E = 10 \text{ mA}$$

$$I_B = \frac{I_E}{\beta + 1} = 0,099 \text{ mA}$$

با نوشتن KVL در حلقه BE داریم

$$20 = R_B I_B + V_{BE}(\text{on}) + R_E I_E \Rightarrow R_B = 93,94 \text{ K}\Omega$$

ب) با فرض فعال بودن ترانزیستور، با نوشتن KVL در حلقه BE داریم

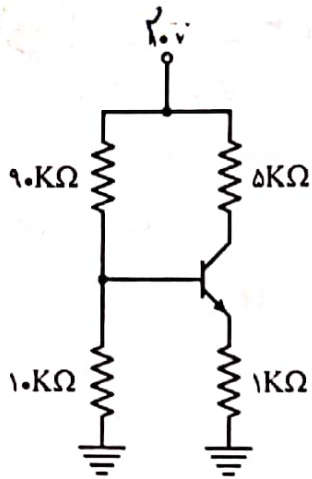
$$20 = 93.94 I_B + V_{BE}(\text{on}) + 1 \times (\beta + 1) I_B$$

$$\Rightarrow I_B = 0.0788 \text{ mA} , \quad I_E = 151 I_B = 11.9 \text{ mA}$$

$$V_{CE} = 20 - R_E I_E = 8.1 \text{ V} > 0.2 \text{ V}$$

بنابراین فرض ناحیه فعال صحیح است.





شکل ۱۶-۳

۱۳) در مدار شکل ۱۶-۳، ترانزیستور دارای  $50 \leq \beta \leq 100$  می باشد. نقطه کار در چه محدوده ای تغییر می کند. به ازای  $\beta = \infty$  نیز نقطه کار را به دست آورید.

حل: ابتدا با قرار دادن مدار معادل تونن از دید بیس، مدار را ساده می کنیم.

$$R_{Th} = 90 \parallel 10 = 9K\Omega \quad , \quad V_{Th} = \frac{20}{90 + 10} \times 10 = 2V$$

حال از KVL در حلقه BE داریم

$$I_B = \frac{V_{Th} - V_{BE}}{R_{Th} + (\beta + 1)R_E}$$

$$\beta = 50 \Rightarrow I_B = 21.67 \mu A$$

$$I_C = \beta I_B = 1.083 \text{ mA} \quad , \quad I_E = (\beta + 1)I_B = 1.105 \text{ mA}$$

$$V_{CE} = 20 - 5I_C - 1 \times I_E = 13.48 \text{ V}$$

بنابراین در این حالت نقطه کار عبارت است از

$$Q_1(1.083 \text{ mA}, 13.48 \text{ V})$$

$$\beta = 100 \Rightarrow I_B = 11.82 \mu A$$

$$I_C = \beta I_B = 1.182 \text{ mA} \quad , \quad I_E = (\beta + 1)I_B = 1.194 \text{ mA}$$

$$V_{CE} = 20 - 5I_C - 1 \times I_E = 12.9 \text{ V}$$

و در این حالت نقطه کار عبارت است از

$$Q_2(1.182 \text{ mA}, 12.9 \text{ V})$$

در اینجا به دلیل برقرار نبودن شرط پایداری نقطه کار نسبت به  $\beta$ ، نقطه کار دارای تغییرات نسبتاً زیادی است.

$$R_{Th} = \frac{1}{\beta_{min}} R_E = 5K\Omega$$

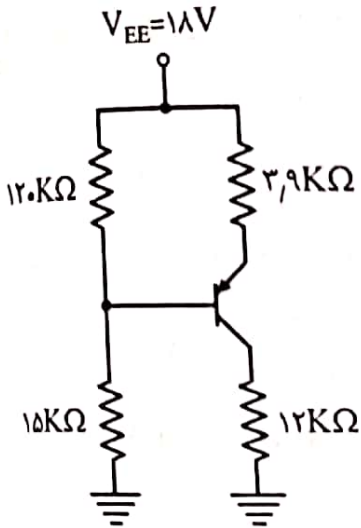
شرط پایداری چنین است

در حالی که در این مدار  $R_{Th} = 9K\Omega$  است.

به ازای  $\beta = \infty$ ، جریان  $I_B$  صفر و  $I_C = I_E$  خواهد بود. بنابراین از KVL در حلقه های BE و CE داریم

$$V_{Th} = V_{BE} + R_E I_E \Rightarrow I_E = 1.3 \text{ mA}$$

$$V_{CE} = 20 - (R_C + R_E)I_E \Rightarrow V_{CE} = 12.2 \text{ V}$$



شکل ۳-۱۷

۱۴. در مدار سکل ۳-۱۷، ترانزیستور دارای  $V_{CE(sat)} = 0.2 \text{ V}$ ،  $V_{EB(on)} = 0.7 \text{ V}$  و  $\beta = 200$  می‌باشد. نقطه کار و ناحیه کار ترانزیستور را بیابید.

حل: ابتدا معادل تونن از دید بیس را به دست می‌آوریم.

$$R_{Th} = 120 \parallel 15 = 13.3 \text{ k}\Omega$$

$$V_{Th} = \frac{18}{120 + 15} \times 15 = 2 \text{ V}$$

با فرض ناحیه فعال برای ترانزیستور، از KVL در حلقه EB داریم

$$18 = 3.9 I_E + V_{EB(on)} + 13.3 I_B + 2, \quad I_E = (\beta + 1) I_B = 210 I_B$$

$$\Rightarrow I_B = 0.192 \text{ mA} \Rightarrow I_C = 200 I_B = 3.84 \text{ mA}, \quad I_E = 201 I_B = 3.86 \text{ mA}$$

حال از KVL در حلقه EC داریم

$$18 = 3.9 I_E + V_{EC} + 12 I_C \Rightarrow V_{EC} = -43.13 \text{ V}!!$$

بنابراین ترانزیستور نمی‌تواند در ناحیه فعال قرار داشته باشد پس در ناحیه اشباع خواهد بود و از KVL در حلقه‌های EC و EB داریم

$$18 = 3.9 I_E + V_{EC(sat)} + 12(I_E - I_B)$$

$$18 = 3.9 I_E + V_{EB(on)} + 13.3 I_B + 2$$

از حل دو معادله فوق  $I_E$  و  $I_B$  به دست می‌آیند.

$$I_B = 0.674 \text{ mA}, \quad I_E = 1.63 \text{ mA}, \quad I_C(sat) = I_E - I_B = 0.956 \text{ mA}$$

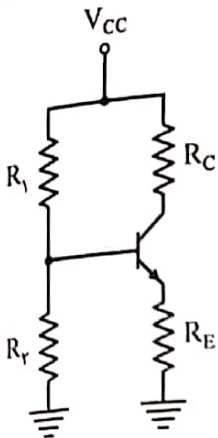
از آنجا که شرط اشباع  $\beta I_B > I_C(sat)$  برقرار است، فرض اشباع بودن ترانزیستور صحیح است و نقطه کار آن برابر است با

$$Q: \begin{cases} I_C(sat) = 0.956 \text{ mA} \\ V_{EC(sat)} = 0.2 \text{ V} \end{cases}$$

## طراحی مدارهای بایاس ترانزیستور پیوندی

### ۱-۴ چکیده

- نقطه کار ترانزیستور، نقطه‌ای از مشخصه ترانزیستور است که مختصات آن جریان و ولتاژ DC سرهای ترانزیستور را مشخص می‌کند. معمولاً از جریان کلکتور ( $I_C$ ) و ولتاژ کلکتور-امیتر ( $V_{CE}$ ) برای مشخص کردن نقطه کار به صورت  $Q(I_{CQ}, V_{CEQ})$  استفاده می‌شود.
- مدار بایاس معمولاً به مداری شامل منابع ولتاژ DC و مقاومتها اطلاق می‌گردد که ولتاژ و جریان DC نقطه کار ترانزیستور را تأمین می‌کند.
- منظور از سیگنال کوچک یعنی سیگنال ولتاژی (جریانی) که دامنه آن در مقایسه با ولتاژ (جریان) نقطه کار ترانزیستور بسیار کوچک باشد و منظور از سیگنال بزرگ یعنی سیگنال ولتاژی (جریانی) که دامنه آن در مقایسه با ولتاژ (جریان) نقطه کار قابل ملاحظه باشد.
- در مواردی که از ترانزیستور به عنوان یک عنصر خطی استفاده می‌شود (مثل تقویت کننده‌ها) باید نقطه کار ترانزیستور در ناحیه فعال به گونه‌ای قرار گیرد که تحت هیچ شرایطی ترانزیستور از آن ناحیه خارج نگردد.
- بسته به اینکه منبع سیگنال ورودی به کدام سر ترانزیستور اعمال گردد و خروجی از کدام سر گرفته شود، سه نوع ترکیب مدار بایاس به صورت زیر تعریف می‌شود:
  - الف) امیتر مشترک: ورودی سیگنال کوچک به سر بیس و خروجی از سر کلکتور گرفته می‌شود.
  - ب) کلکتور مشترک: ورودی سیگنال کوچک به سر بیس و خروجی از سر امیتر گرفته می‌شود.
  - ج) بیس مشترک: ورودی سیگنال کوچک به سر امیتر و خروجی از سر کلکتور گرفته می‌شود.
- متداول‌ترین روش بایاس ترانزیستور در حالت امیتر مشترک که به مدار خود بایاس معروف می‌باشد به صورت شکل ۱-۴ است. در این مدار،



شکل ۴-۱

الف) وجود مقاومت  $R_E$  به خاطر پایداری حرارتی نقطه کار و جلوگیری از رانش حرارتی است. در صورتی که  $R_E = 0$  باشد، افزایش دما باعث کاهش  $V_{BE}$  و افزایش  $I_{CBO}$  و در نتیجه افزایش جریان  $I_C$  می شود که خود باعث افزایش مجدد دما می گردد و این روند ادامه خواهد داشت.

ب) مقاومت های  $R_1$  و  $R_2$  را می توان به گونه ای انتخاب کرد که تغییرات وسیع  $\beta$  اثر چندانی روی نقطه کار نداشته باشد. می توان نشان داد برای این منظور، کافی است مقاومت  $R_{Th} = R_1 \parallel R_2$  به صورت زیر انتخاب گردد:

$$R_{Th} \ll \beta_{min} R_E \Rightarrow R_{Th} = \frac{1}{\beta_{min}} R_E$$

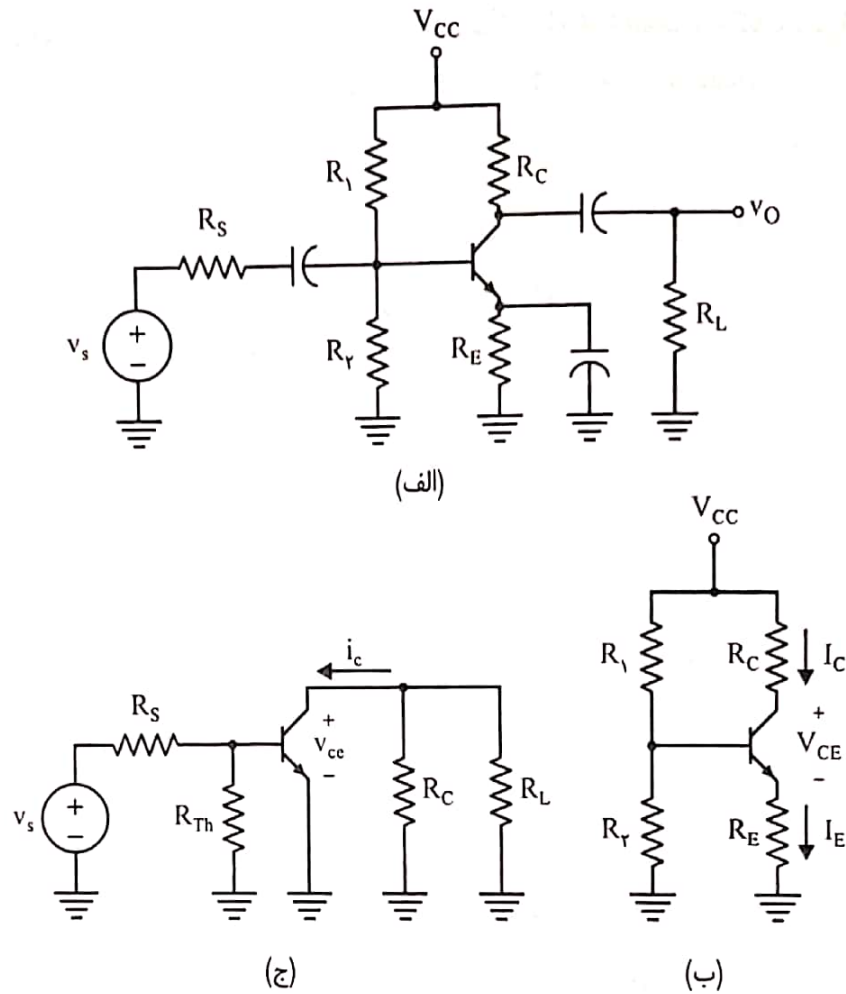
- برای به دست آوردن مدار معادل DC، کافی است خازن ها را اتصال باز و منابع سیگنال را حذف کرد و برای به دست آوردن مدار معادل ac، خازن ها اتصال کوتاه و منابع تغذیه DC حذف می گردند.
- چنانچه پس از بایاس ترانزیستور، منبع سیگنالی به مدار اعمال شود، کلیه جریانها و ولتاژهای مدار از جمله جریان و ولتاژ نقطه کار ترانزیستور دارای هر دو مؤلفه DC و ac می باشند. بنابراین نقطه کار حول مقدار DC خود دارای تغییراتی خواهد بود. معمولاً این تغییرات باید به گونه ای باشد که نقطه کار از ناحیه فعال خارج نگردد.

• مقادیر جریان و ولتاژ DC با حروف بزرگ و اندیسهای بزرگ نمایش داده می شوند مثل  $I_C$  و  $V_{CE}$ ، وقتی که منظور فقط اشاره به مؤلفه های سیگنال کوچک است از حروف و اندیسهای کوچک استفاده می شود مثل  $i_c$  و  $v_{ce}$ ؛ در نهایت برای نمایش کل مقدار ولتاژ و جریان (ac+DC) از حروف کوچک و اندیسهای بزرگ استفاده می شود مثل  $i_C$  و  $v_{CE}$ . به این ترتیب روابط زیر برقرار است:

$$v_{CE} = V_{CE} + v_{ce} \quad , \quad i_C = I_C + i_c$$

- خط بار DC عبارت است از معادله ای که رابطه بین جریان و ولتاژ DC نقطه کار ترانزیستور را تعیین می کند. در مورد ترکیب امیتر مشترک و کلکتور مشترک این معادله بین  $I_C$  و  $V_{CE}$  و برای ترکیب بیس مشترک بین  $V_{CB} = V_{CE} + V_{EB}$  و  $I_C$  است. برای یافتن خط بار DC کافی است در مدار معادل DC معادله KVL را در مدار کلکتور - امیتر نوشت.
- خط بار ac خالص عبارت است از معادله ای که رابطه بین جریان و ولتاژ ac خالص نقطه کار ترانزیستور را تعیین می کند. در مورد مدارهای امیتر مشترک و کلکتور مشترک این معادله بین  $i_c$  و  $v_{ce}$  و در مورد مدار بیس مشترک بین  $i_c$  و  $v_{cb}$  است. به خاطر داشته باشید که مبدأ خط بار ac خالص، نقطه کار ترانزیستور می باشد. با انتقال مبدأ خط بار ac خالص از نقطه کار ترانزیستور به مبدأ مختصات، معادله کلی بین جریان و ولتاژ نقطه کار ترانزیستور به دست می آید که خط بار ac نامیده می شود. برای مدارهای امیتر مشترک و کلکتور مشترک این معادله بین  $i_C$  و  $v_{CE}$  و برای مدار بیس مشترک بین  $i_C$  و  $v_{CB}$  است.
- به عنوان مثال برای تقویت کننده امیتر مشترک شکل ۴-۲-الف، مدارهای معادل DC و ac به ترتیب در شکل های ۴-۲-ب و ۴-۲-ج آورده شده است.





شکل ۲-۴

برای این مدار خط بارهای DC و AC خالص با استفاده از KVL در مدار معادل DC و AC عبارتند از

$$\text{خط بار DC: } V_{CE} = V_{CC} - (R_C + R_E)I_C = V_{CC} - R_{DC} I_C$$

$$\text{خط بار AC خالص: } v_{ce} = -(R_C \parallel R_L) i_c = -R_{ac} i_c$$

در نوشتن معادله خط بار DC فرض کرده‌ایم که  $I_C$  و  $I_E$  تقریباً برابرند. از آنجا که مبدأ خط بار AC خالص، نقطه کار  $Q(I_{CQ}, V_{CEQ})$  است؛ معادله خط بار AC (معادله کلی جریان و ولتاژ نقطه کار) عبارت است از

$$i_c - I_{CQ} = -R_{ac} (v_{CE} - V_{CEQ})$$

که از انتقال مبدأ خط بار AC خالص از نقطه کار ترانزیستور به مبدأ مختصات به دست می‌آید.

● با توجه به معادلات خط بار DC و AC خالص، مقاومت‌های  $R_{DC}$  و  $R_{ac}$  را به صورت زیر تعریف می‌کنیم:

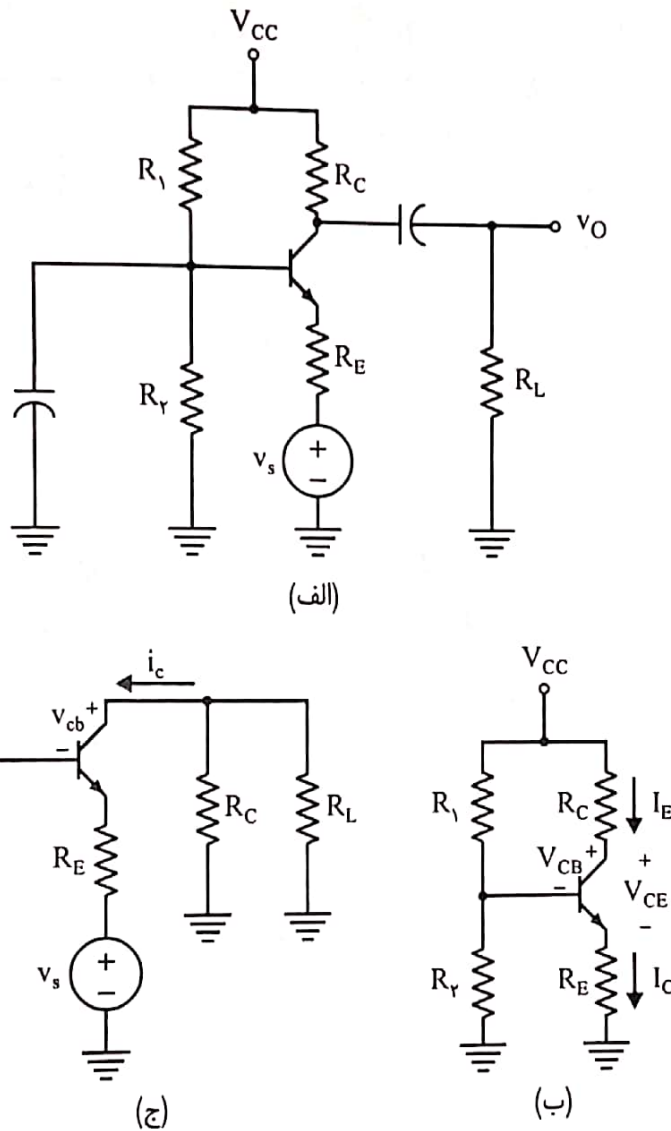
$R_{DC}$  = مجموع مقاومت‌های مدار کلکتور - امیتر در مدار DC، یا به طور کلی تر ضریب  $I_C$  در معادله

خط بار DC که به صورت ولتاژ برحسب جریان نوشته شده باشد.

$R_{ac}$  = کل مقاومت‌های مدار کلکتور در مدار معادل AC، یا به طور کلی تر ضریب  $i_c$  در معادله خط بار AC

خالص که به صورت ولتاژ برحسب جریان نوشته شده باشد.

● برای درک خطوط بار در ترکیب بیس مشترک، به مدار شکل ۴-۳-الف توجه کنید. برای این ترکیب مدارهای معادل DC و ac به ترتیب در شکل‌های ۴-۳-ب و ۴-۳-ج رسم شده‌اند.



شکل ۴-۳

$$\begin{aligned} \text{خط بار DC: } V_{CB} &= V_{CE} - V_{BE(\text{on})} = [V_{CC} - V_{BE(\text{on})}] - (R_C + R_E) I_C \\ &= [V_{CC} - V_{BE(\text{on})}] - R_{DC} I_C \end{aligned}$$

$$\text{خط بار ac خالص: } v_{cb} = -(R_C \parallel R_L) i_c = -R_{ac} i_c$$

بنابراین خط بار ac یا رابطه کلی بین جریان و ولتاژ نقطه کار به صورت زیر به دست می‌آید:

$$\text{خط بار ac: } v_{CB} - V_{CBQ} = -R_{ac} (i_C - I_{CQ})$$

• برای داشتن حداکثر دامنه نوسان متقارن در خروجی یا ورودی بدون اینکه ترانزیستور از ناحیه خطی کار خود خارج گردد، باید نقطه کار ترانزیستور در وسط خط بار ac قرار گیرد. بنابراین می توان نشان داد که شرط داشتن حداکثر دامنه نوسان متقارن، انتخاب نقطه کار به صورت زیر است:

$$I_{CQ} = \frac{V_{CC}}{R_{ac} + R_{DC}} \quad , \quad V_{CEQ} = \frac{V_{CC}}{R_{ac} + R_{DC}} R_{ac}$$

توجه نمایید که روابط فوق برای ترکیبهای امیتر مشترک و کلکتور مشترک به کار می رود. برای مدار بیس مشترک این روابط با اندکی تغییر به صورت زیر است:

$$I_{CQ} = \frac{V_{CC} - |V_{BE(ON)}|}{R_{ac} + R_{DC}} \quad , \quad V_{CBQ} = \frac{V_{CC} - |V_{BE(ON)}|}{R_{ac} + R_{DC}} R_{ac}$$

• معمولاً طراحی مدار بایاس به صورتی انجام می گیرد که حداکثر دامنه نوسان و پایداری نقطه کار نسبت به تغییرات  $\beta$  وجود داشته باشد. بنابراین ابتدا  $R_{Th}$  را از شرط پایداری و  $I_{CQ}$  را از شرط حداکثر دامنه نوسان به دست آورده و سپس  $V_{Th}$  را با نوشتن KVL در مدار بیس - امیتر محاسبه می کنیم. با داشتن مقادیر  $R_{Th}$  و  $V_{Th}$ ، مقادیر  $R_1$  و  $R_2$  به دست می آیند.  $R_{Th}$  و  $V_{Th}$  مدار معادل تونن از دید بیس می باشند که برای مدار خود بایاس شکل ۱-۴ عبارتند از

$$R_{Th} = R_1 \parallel R_2 \quad , \quad V_{Th} = \frac{V_{CC}}{R_1 + R_2} R_2$$

مقادیر مقاومت های  $R_1$  و  $R_2$  با معلوم بودن  $R_{Th}$  و  $V_{Th}$  عبارتند از

$$R_1 = \frac{V_{CC}}{V_{Th}} R_{Th} \quad , \quad R_2 = \frac{V_{CC}}{V_{CC} - V_{Th}} R_{Th}$$

• برای محاسبه حداکثر دامنه نوسان خروجی در یک مدار طراحی شده امیتر مشترک یا کلکتور مشترک، به صورت زیر عمل می کنیم:

الف) مدار معادل DC را به دست آورده و معادله خط بار DC را با نوشتن KVL در مدار کلکتور - امیتر به دست می آوریم، که در نتیجه مقاومت  $R_{DC}$  نیز مشخص می شود.

$$V_{CE} = V_{CC} - R_{DC} I_C$$

با استفاده از این معادله و تحلیل DC مدار، نقطه کار ترانزیستور یعنی  $(I_{CQ}, V_{CEQ})$  به دست می آید.  
ب) مدار معادل ac را به دست آورده و معادله خط بار ac خالص را با نوشتن KVL در مدار کلکتور - امیتر به صورت زیر می یابیم، که در نتیجه مقاومت  $R_{ac}$  نیز مشخص می شود.

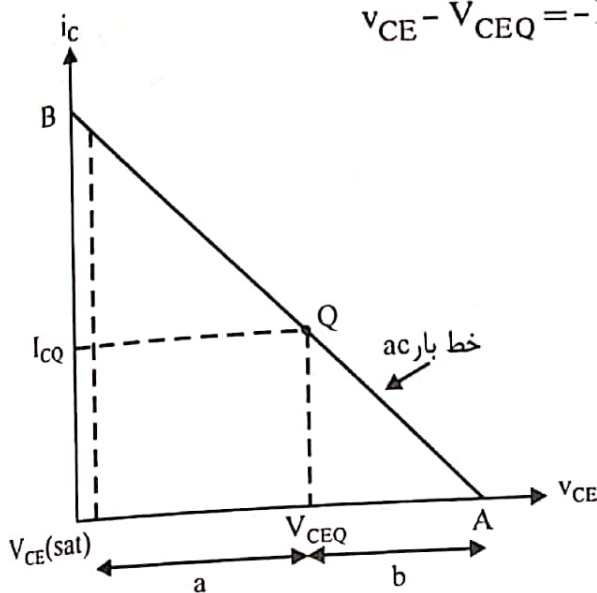
$$v_{ce} = -R_{ac} i_c$$

ج) در معادله خط بار ac خالص به جای  $i_c$  و  $v_{ce}$  با توجه به معادلات زیر جایگذاری می نماییم:

$$v_{CE} = V_{CEQ} + v_{ce} \quad , \quad i_C = I_{CQ} + i_c$$

بنابراین معادله خط بار ac به صورت زیر حاصل می شود که می توان به راحتی آن را به خاطر سپرد.

$$v_{CE} - V_{CEQ} = -R_{ac}(i_C - I_{CQ})$$



مشاهده می شود که این معادله رابطه بین کل ولتاژ و کل جریان نقطه کار می باشد. به عبارت دیگر هم شامل مقادیر DC و هم شامل مقادیر ac است. بنابراین می توان گفت مکان هندسی نقطه کار ترانزیستور می باشد. همان طور که قبلاً اشاره شد، رابطه اخیر را معادله کلی جریان کلکتور یا خط بار ac می نامیم. لازم است که به تفاوت آن با خط بار ac خالص که مبدأ آن نقطه کار Q است توجه شود.

(د) معادله اخیر را رسم کرده و با توجه به آن حداکثر

شکل ۴-۴

دامنه نوسان به دست می آید. این مطلب در شکل ۴-۴ نمایش داده شده است. با توجه به این شکل حداکثر دامنه نوسان متقارن ولتاژ کلکتور - امیتر بدون اینکه ترانزیستور وارد ناحیه قطع یا اشباع گردد برابر است با

$$v_{ce,max} = \min(a, b)$$

در شکل ۴-۴ مقادیر A و B با توجه به معادله خط بار ac برابر است با

$$A = R_{ac} I_{CQ} + V_{CEQ}, \quad B = (R_{ac} I_{CQ} + V_{CEQ}) / R_{ac}$$

- پایداری نقطه کار ترانزیستور: برای هر مدار بایاس، جریان نقطه کار یا  $I_C$  را می توان به صورت تابعی از مشخصات ترانزیستور مثل  $\beta$ ،  $V_{BE}$ ،  $I_{CBO}$  و مشخصات مدار از جمله منبع تغذیه و مقاومتها نوشت. معمولاً منابع تغذیه DC کاملاً ثابت نبوده و دارای مقداری ریزل می باشند. همچنین مقاومتها نیز دارای تلورانس هستند. از طرفی  $I_{CBO}$  و  $V_{BE}$  به دما وابسته بوده و برای  $\beta$  نیز مقدار دقیقی نمی توان در نظر گرفت، بلکه همواره یک محدوده  $\beta_{min}$  تا  $\beta_{max}$  داده می شود. بنابراین جریان کلکتور می تواند تغییرات وسیعی داشته باشد که نامناسب خواهد بود. منظور از پایداری نقطه کار ترانزیستور، ایجاد شرایطی است که تغییرات پارامترهای مختلف اثر چندانی روی جریان کلکتور نداشته باشد. در این ارتباط، پایداری حرارتی اهمیت بیشتری دارد.
- جریان اشباع معکوس کلکتور ( $I_{CBO}$ ) به ازای هر  $10^\circ$  درجه سانتیگراد افزایش دما، دو برابر می شود و  $V_{BE}$  به ازای هر درجه سانتیگراد افزایش دما،  $2/5$  میلی ولت کاهش می یابد. بنابراین می توان معادلات زیر را برای آنها داشت:

$$I_{CBO}(T_2) = I_{CBO}(T_1) 2^{(T_2 - T_1) / 10}$$

$$V_{BE}(T_2) = V_{BE}(T_1) - 2/5 (T_2 - T_1) \text{ mV}$$

- در ایجاد انحراف در نقطه کار برای ترانزیستورهای سیلیکونی، تغییرات حرارتی  $V_{BE}$  و برای ترانزیستورهای ژرمانیمی، تغییرات حرارتی  $I_{CBO}$  نقش مؤثرتری ایفا می کنند.



• با توجه به اینکه  $I_C$  تابعی از پارامترهای  $\beta$ ،  $I_{CBO}$  و  $V_{BE}$  می باشد، تغییرات  $I_C$  را می توان به صورت تابعی از تغییرات این پارامترها به صورت زیر نوشت:

$$\Delta I_C = S_I \Delta I_{CBO} + S_V \Delta V_{BE} + S_\beta \Delta \beta$$

در این معادله، ضرایب  $S_I$ ،  $S_V$  و  $S_\beta$  را ضرایب پایداری گویند که به صورت زیر تعریف می شوند:

$$S_I = \frac{\Delta I_C}{\Delta I_{CBO}} \approx \frac{\partial I_C}{\partial I_{CBO}}, \quad S_V = \frac{\Delta I_C}{\Delta V_{BE}} \approx \frac{\partial I_C}{\partial V_{BE}}, \quad S_\beta = \frac{\Delta I_C}{\Delta \beta} \approx \frac{I_C(\beta_2) - I_C(\beta_1)}{\beta_2 - \beta_1}$$

توجه کنید که در مورد  $S_\beta$  به دلیل اینکه  $\beta$  معمولاً دارای تغییرات وسیعی می باشد نمی توان از مشتق جزئی استفاده نمود. در واقع استفاده از مشتق جزئی با این فرض که تغییرات متغیرها کوچک است، صحیح می باشد؛ در غیر این صورت برای  $S_I$  و  $S_V$  نیز باید همانند  $\beta$  مستقیماً عمل نمود.

• به همین ترتیب می توان ضرایب پایداری دیگری مثل  $S_{V_{CC}}$  و  $S_{R_E}$  را تعریف نمود.

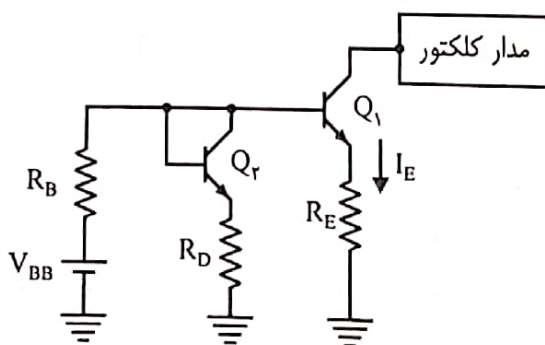
• برای یک مدار خود بایاس و با شرط پایداری نقطه کار نسبت به  $\beta$  یعنی  $R_{Th} \ll \beta_{min} R_E$ ، ضرایب پایداری عبارتند از

$$S_I \approx (1 + R_{Th}/R_E), \quad S_V \approx -1/R_E, \quad S_\beta = \frac{I_{C1}}{\beta_1} \left( \frac{R_{Th} + R_E}{R_{Th} + (1 + \beta_2)R_E} \right)$$

در رابطه  $S_\beta$  منظور از  $I_{C1}$  مقدار  $I_C$  به ازای  $\beta_1$  می باشد.

• در روشهای جبران تغییرات حرارتی، فزونی بررسی می شود که اثرات تغییرات حرارتی  $V_{BE}$  و  $I_{CBO}$  ترانزیستور را خنثی می نمایند.

• برای جبران تغییرات حرارتی  $V_{BE}$  ترانزیستور، از یک ترانزیستور مشابه به عنوان دیودی که دارای تغییرات حرارتی کاملاً مشابه با دیود بیس - امیتر است، استفاده می شود. این مطلب در مدار شکل ۴-۵



شکل ۴-۵

نمایش داده شده است. برای این مدار، با توجه به اینکه  $Q_2$  همانند یک دیود با ولتاژ برابر  $V_{BE}$  عمل می کند، با قرار دادن مدار معادل تونن از دید بیس، جریان امیتر به صورت زیر به دست می آید:

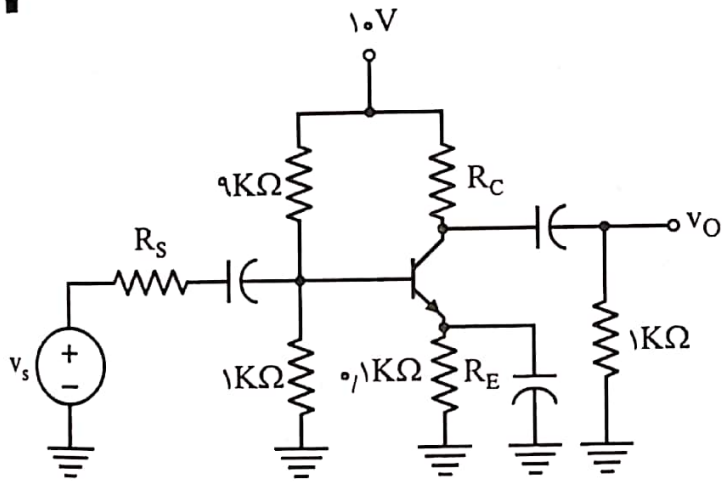
$$I_E = \frac{1}{R_E} \left[ \frac{R_D V_{BB} + R_B V_{BE}}{R_B + R_D} - V_{BE} \right]$$

با مشتق گیری از طرفین رابطه فوق، نسبت به دما داریم

$$\frac{\partial I_E}{\partial T} = \left[ \frac{-1}{R_E (1 + R_B/R_D)} \right] \frac{\partial V_{BE}}{\partial T}$$

ملاحظه می شود وابستگی حرارتی  $I_C$  نسبت به حالت جبران نشده با ضریب  $\frac{1}{1 + R_B/R_D}$  کاهش یافته است.

• از روشهای دیگر جبران تغییرات حرارتی  $V_{BE}$ ، استفاده از یک یا چند دیود سری به جای ترانزیستور  $Q_2$  می باشد.



شکل ۸-۴

۲. در مدار شکل ۸-۴، ترانزیستور دارای

$$V_{CE}(\text{sat}) = 0.2\text{V}, V_{BE}(\text{on}) = 0.7\text{V}$$

و  $\beta = 100$  می‌باشد.

الف)  $R_C$  را طوری تعیین نمایید که دامنه نوسان متقارن ولتاژ خروجی حداکثر گردد.

ب) حداکثر دامنه نوسان متقارن ولتاژ خروجی، ولتاژ و جریان کلکتور را به دست آورید.

حل: الف) ابتدا با استفاده از مدار معادل DC،

نقطه کار ترانزیستور را محاسبه می‌کنیم.

$$R_{Th} = 9 \parallel 1 = 0.9\text{K}\Omega \quad , \quad V_{Th} = \frac{10}{9+1} \times 1 = 1\text{V}$$

$$\text{KVL BE: } V_{Th} = R_{Th} I_B + V_{BE} + R_E I_E \quad , \quad I_E = (1 + \beta) I_B$$

$$\Rightarrow I_B = 27.27\mu\text{A} \quad , \quad I_C = 2.73\text{mA} \quad , \quad I_E = 2.75\text{mA}$$

$$R_{ac} = R_C \parallel 1, R_{DC} = R_C + R_E = 0.1 + R_C$$

$$I_{CQ} = \frac{V_{CC}}{R_{ac} + R_{DC}} \Rightarrow 2.73 = \frac{10}{R_C / (R_C + 1) + 0.1 + R_C}$$

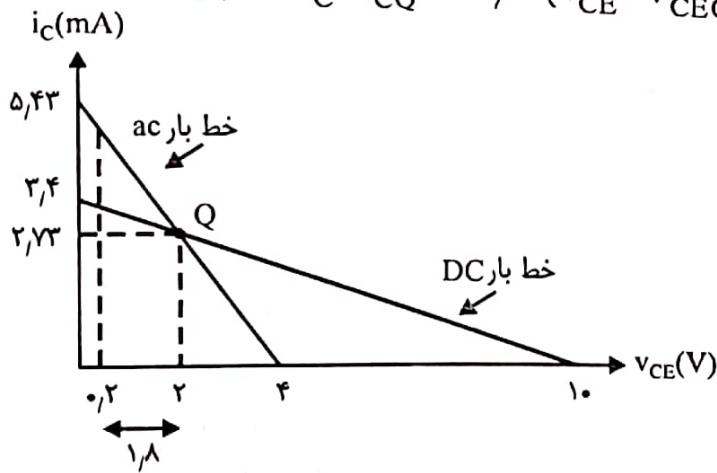
$$\Rightarrow R_C = 2.83 K\Omega, R_{ac} = 0.74 K\Omega, R_{DC} = 2.93 K\Omega$$

$$\text{DC بار خط: } V_{CE} = V_{CC} - R_{DC} I_C = 10 - 2.93 I_C \Rightarrow Q(2.73 \text{ mA}, 2 \text{ V})$$

$$\text{خط بار ac خالص: } v_{ce} = -R_{ac} i_c \Rightarrow i_c = -1.35 v_{ce}$$

معادله کلی جریان کلکتور یا خط بار ac با انتقال مبدأ خط بار ac خالص از نقطه کار Q به مبدأ مختصات، برابر است با

$$\text{خط بار ac: } i_C - I_{CQ} = -1.35 (v_{CE} - V_{CEQ}) \Rightarrow i_C = -1.35 v_{CE} + 5.43$$



شکل ۹-۴

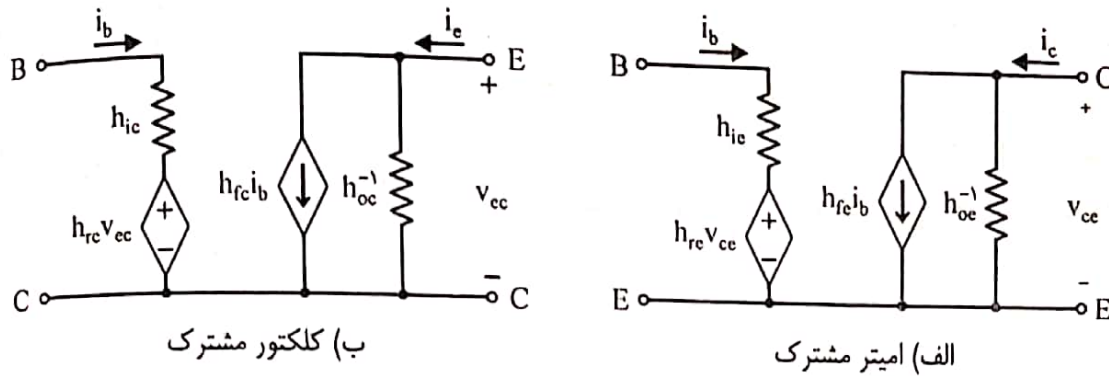
این معادله در شکل ۹-۴ رسم شده که با توجه به آن حداکثر دامنه نوسان متقارن  $v_{ce}$  برابر ۱.۸ ولت است. با استفاده از خط بار ac خالص  $i_c = -1.35 v_{ce}$ ، حداکثر دامنه نوسان  $i_c$  برابر ۲.۴۳ mA خواهد بود. دامنه نوسان خروجی  $(v_o = v_{ce})$  نیز برابر ۱.۸ ولت می باشد.

## تقویت کننده‌های ترانزیستوری در فرکانسهای پایین

### ۵-۱ چکیده

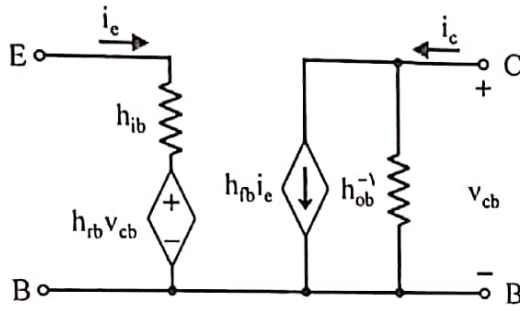
- به منظور استفاده از خاصیت تقویت‌کنندگی ترانزیستور، این عنصر همواره در ناحیه فعال بایاس می‌شود.
- سیگنال ورودی تقویت کننده، یک سیگنال کوچک است به طوری که در محدوده تغییرات آن می‌توان ترانزیستور را با یک مدل خطی جایگزین کرد.
- منظور از تجزیه و تحلیل سیگنال کوچک یک تقویت کننده، عبارت است از محاسبه مشخصه‌های آن از قبیل بهره ولتاژ، بهره جریان، مقاومت ورودی و مقاومت خروجی.
- مدل هیبرید  $h$  که متداول‌ترین مدل سیگنال کوچک ترانزیستور در فرکانسهای پایین است در سه ترکیب امیتر مشترک، کلکتور مشترک و بیس مشترک در شکل ۵-۱ نمایش داده شده است. مدل‌های نشان داده شده برای هر دو نوع ترانزیستور NPN و PNP به کار می‌روند.
- مشخصه‌های هیبرید  $h$  در هر یک از ترکیبهای فوق را می‌توان برحسب دو ترکیب دیگر به دست آورد. همواره می‌توان از مدل هیبرید امیتر مشترک به جای کلکتور مشترک نیز استفاده کرد.
- پارامترهای هیبرید  $h$  برخلاف دیگر پارامترها، با استفاده از مشخصه‌های ورودی و خروجی ترانزیستور قابل محاسبه می‌باشند و به طور کلی به جریان نقطه کار و دما وابسته هستند.





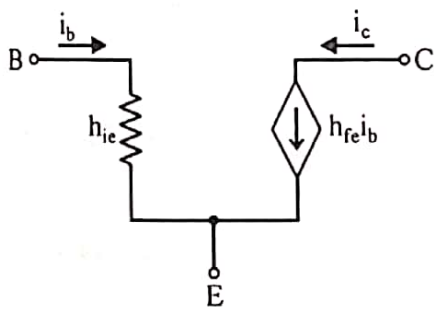
ب) کلکتور مشترک

الف) امیتر مشترک



ج) بیس مشترک

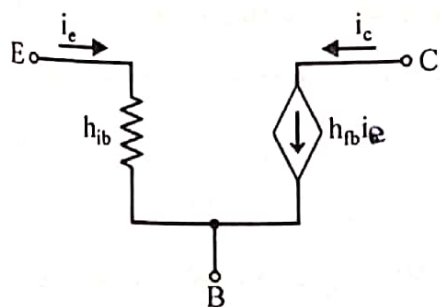
شکل ۱-۵



شکل ۲-۵

معمولاً به دلیل بزرگ بودن مقاومت  $h_{oc}^{-1}$  و کوچک بودن  $h_{re}$ ، می‌توان مدل هیبرید  $h$  امیتر مشترک را به صورت شکل ۲-۵ ساده نمود که با خطای جزئی، تجزیه و تحلیل را بسیار راحت‌تر می‌کند. مقدار  $h_{ie}$  به صورت زیر به دست می‌آید که در آن معمولاً برابر یک و  $V_T$  در دمای  $300^\circ K$  معمولاً برابر ۲۶ میلی‌ولت در نظر گرفته می‌شود:

$$h_{ie} = h_{fe} \frac{\eta V_T}{I_{CQ}}$$



شکل ۳-۵

مدل هیبرید  $h$  بیس مشترک را نیز می‌توان به صورت شکل ۳-۵ تقریب زد. همچنین مشخصه‌های این مدل تقریبی برحسب مشخصه‌های هیبرید امیتر مشترک برابر است با

$$h_{ib} = \frac{h_{ie}}{1 + h_{fe}}, \quad h_{fb} = \frac{-h_{fe}}{1 + h_{fe}}$$

مدار معادل سیگنال کوچک یک تقویت کننده با جایگذاری مدل هیبرید ترانزیستور در مدار معادل  $ac$  به دست می‌آید که با تحلیل مداری آن، مشخصه‌های تقویت کننده محاسبه می‌شوند.

• سه نوع تقویت کننده ترانزیستوری امیتر مشترک، کلکتور مشترک و بیس مشترک وجود دارد که با توجه به مشخصاتی که دارند، برای اهداف متفاوتی به کار می‌روند.

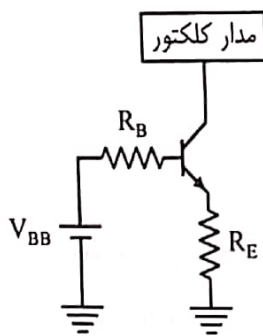
• تقویت کننده امیتر مشترک دارای مقادیر متوسطی برای بهره ولتاژ، بهره جریان، مقاومت ورودی و مقاومت خروجی است. بنابراین هم به عنوان تقویت کننده ولتاژ و هم به عنوان تقویت کننده جریان قابل استفاده است.

• تقویت کننده کلکتور مشترک یا امیتر فالوئر دارای مقاومت ورودی بزرگ، مقاومت خروجی کوچک، بهره جریان بزرگ و بهره ولتاژ کمتر از واحد است. بنابراین از این تقویت کننده می‌توان به عنوان تقویت کننده جریان یا بافر استفاده کرد. یک بافر ایده‌آل دارای مقاومت ورودی بی‌نهایت، مقاومت خروجی صفر و بهره ولتاژ برابر واحد است.

• مشخصات تقویت کننده بیس مشترک، عکس مشخصات تقویت کننده کلکتور مشترک است.

• پارامتر  $h_{fe}$  ترانزیستور را می‌توان تقریباً همان بهره جریان DC ترانزیستور یعنی  $\beta$  یا  $h_{FE}$  در نظر گرفت.

• با توجه به مدار شکل ۴-۵ و نوشتن معادله KVL در مدار بیس-امیتر، معادلات جریان  $I_B$  و  $I_E$  در ناحیه فعال به صورت زیر به دست می‌آیند:



$$I_E = \frac{V_{BB} - V_{BE}}{R_E + R_B / (1 + h_{fe})}, \quad I_B = \frac{V_{BB} - V_{BE}}{R_B + (1 + h_{fe})R_E}$$

با توجه به دو معادله فوق دو نکته زیر را می‌توان به خاطر سپرد:

الف) کلیه مقاومت‌های امیتر از دید بیس در  $(1 + h_{fe})$  ضرب می‌شوند.

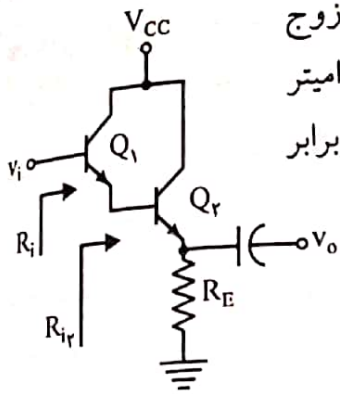
ب) کلیه مقاومت‌های بیس از دید امیتر بر  $(1 + h_{fe})$  تقسیم می‌گردند.

این دو قاعده از نظر AC نیز صحیح می‌باشند.

• هرگاه بهره تقویت بزرگی نیاز باشد، یا علاوه بر تقویت، تطبیق امپدانس نیز لازم باشد از تقویت کننده‌های چند طبقه استفاده می‌شود.

• چنانچه طبقات مختلف توسط خازن کوپلاژ از هم مجزا شده باشند، نقاط کار طبقات مستقل از یکدیگر خواهند بود. خازن کوپلاژ از انتقال DC بین طبقات جلوگیری می‌نماید و در واقع فرکانس قطع پایینی تقویت کننده را تعیین می‌کند. در این حالت می‌توان کل تقویت کننده را یکجا تجزیه و تحلیل کرد. همچنین می‌توان بهره جریان یا ولتاژ تقویت کننده را از حاصل ضرب بهره‌های جریان یا ولتاژ تک تک طبقات به دست آورد. در این صورت باید دقت داشت که مقاومت ورودی هر طبقه به عنوان مقاومت بار برای طبقه قبلی در نظر گرفته شود.

• در تقویت کننده‌های چند طبقه، طبقات میانی حتماً از نوع امیتر مشترک می‌باشند. طبقه ورودی بسته به مقاومت ورودی مورد نیاز، بیس مشترک یا کلکتور مشترک انتخاب می‌شود. به عنوان مثال اگر بار یک مقاومت کوچک باشد، طبقه آخر کلکتور مشترک انتخاب می‌شود که دارای مقاومت خروجی کوچکی است.



شکل ۵-۵

• برای افزایش مقاومت ورودی تقویت کننده امیتر فالوئر می توان از یک زوج دارلینگتون به صورت شکل ۵-۵ استفاده کرد. با توجه به اینکه مقاومت های امیتر از دید بیس در  $(1 + h_{fe})$  ضرب می شوند، مقاومت ورودی مدار  $(R_i)$  برابر است با

$$R_i = h_{ie_1} + (1 + h_{fe})(R_{i_2} \parallel h_{oe}^{-1})$$

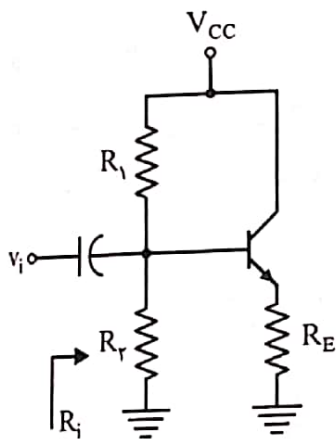
$$R_{i_2} = h_{ie_2} + (1 + h_{fe})(R_E \parallel h_{oe}^{-1})$$

با توجه به رابطه  $R_i$  چنانچه بتوان کاری کرد که  $R_{i_2}$  با  $h_{oe}^{-1}$  موازی نگردد، مقدار  $R_i$  بسیار بزرگ تر خواهد شد. برای این منظور می توان از روش بوت استرپ استفاده کرد.

• بوت استرپ: برای مدار امیتر فالوئر شکل ۵-۶ مقاومت ورودی برابر است با

$$R_i = R_{Th} \parallel [h_{ie} + (1 + h_{fe})(R_E \parallel h_{oe}^{-1})]$$

$$R_{Th} = R_1 \parallel R_2$$



شکل ۵-۶

ملاحظه می شود که مقاومت ورودی نمی تواند از  $R_{Th}$  بزرگ تر شود؛ به عبارت دیگر مقاومت های بایاس یعنی  $R_1$  و  $R_2$  باعث کاهش  $R_i$  می گردند. این اشکال در مدار دارلینگتون نیز موجود است. برای رفع این مشکل از مدار بوت استرپ شده به صورت شکل ۵-۷ استفاده می گردد.

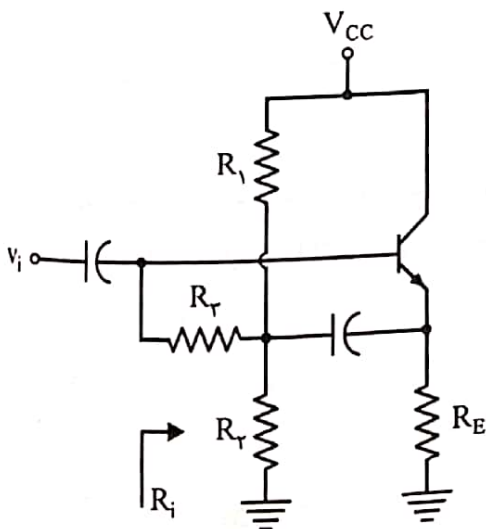
در این مدار از نظر سیگنال کوچک مقاومت امیتر برابر است با

$$R'_E = R_1 \parallel R_2 \parallel R_E \parallel h_{oe}^{-1}$$

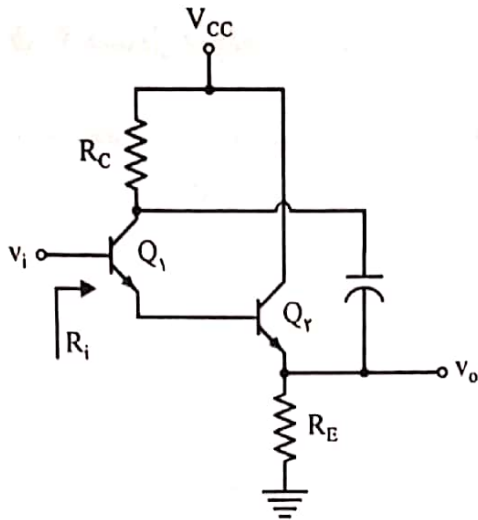
حال چنانچه  $R_3$  به اندازه کافی بزرگ باشد به گونه ای که  $R_3 \parallel h_{ie} \approx h_{ie}$  باشد، مقاومت ورودی برابر است با

$$R_i = h_{ie} + (1 + h_{fe})R'_E$$

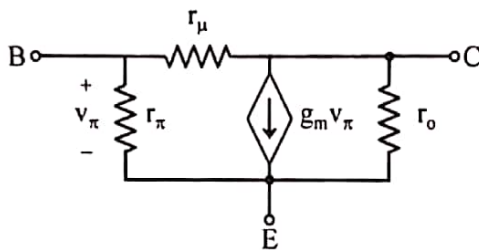
که اگر با حالت بوت استرپ نشده مقایسه کنید، اثر مقاومت های بایاس در کاهش  $R_i$  بر طرف شده است.



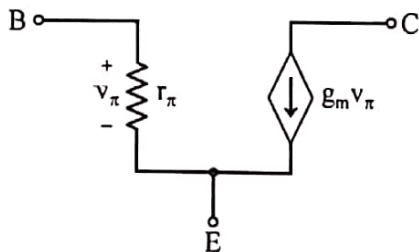
شکل ۵-۷



شکل ۸-۵



شکل ۹-۵



شکل ۱۰-۵

• برای افزایش مقاومت ورودی زوج دارلینگتون، روش بوت استرپ برای مقاومت  $h_{oe}^{-1}$  ترانزیستور اول به کار می‌رود. این مطلب در شکل ۵-۸ نمایش داده شده است. در این مدار از دید سیگنال کوچک،  $R_C$  با  $R_E$  موازی می‌شود؛ بنابراین

$$R_E' = R_E \parallel R_C \parallel h_{oe}^{-1}$$

$h_{oe}^{-1}$  ترانزیستور اول با  $h_{ie_r}$  موازی می‌گردد که می‌توان نتیجه را برابر  $h_{ie_r}$  گرفت. بنابراین  $R_i$  برابر است با

$$R_i = h_{ie_1} + (1 + h_{fe}) [h_{ie_r} + (1 + h_{fe}) R_E'] \\ \approx (1 + h_{fe})^2 R_E'$$

• مدل هیبرید  $\pi$ : یکی از مدل‌های سیگنال کوچک دیگر ترانزیستور که به نوبه خود حائز اهمیت است، مدل هیبرید  $\pi$  می‌باشد که مدل نسبتاً دقیق آن در شکل ۵-۹ نشان داده شده است. مقاومت بیس-کلکتور ( $r_{\mu}$ )، معمولاً بسیار بزرگ بوده و عملاً از آن صرف نظر می‌شود. مقدار مقاومت  $r_o$  برای ترانزیستورهای مختلف بین چند ده تا چند صد کیلو اهم به دست می‌آید (در حقیقت  $r_o$  همان مقاومت  $h_{oe}^{-1}$  در مدل هیبرید  $h$  است) و بنابراین در اکثر موارد قابل صرف نظر است. مدل ساده شده هیبرید  $\pi$  ترانزیستور برای هر دو نوع ترانزیستور NPN و PNP در شکل ۵-۱۰ نمایش داده شده است.

• در مدل هیبرید  $\pi$ ، پارامتر  $g_m$  یک هدایت انتقالی است که به صورت زیر تعریف می‌شود:

$$g_m = \frac{i_c}{v_{be}} \Rightarrow g_m = \frac{I_C}{V_T}$$

که در آن،  $I_C$  جریان کلکتور و  $V_T$  در دمای  $300^\circ$  درجه کلوین برابر ۲۶ میلی ولت است.

• مقاومت ورودی  $r_{\pi}$  در مدل هیبرید  $\pi$  به صورت  $v_{be}/i_b$  تعریف می‌شود و بنابراین به صورت زیر قابل

$$r_{\pi} = \frac{v_{be}}{i_b} = \frac{\beta v_{be}}{i_c} = \frac{\beta}{g_m} = \frac{\beta V_T}{I_C} = \frac{V_T}{I_B}$$

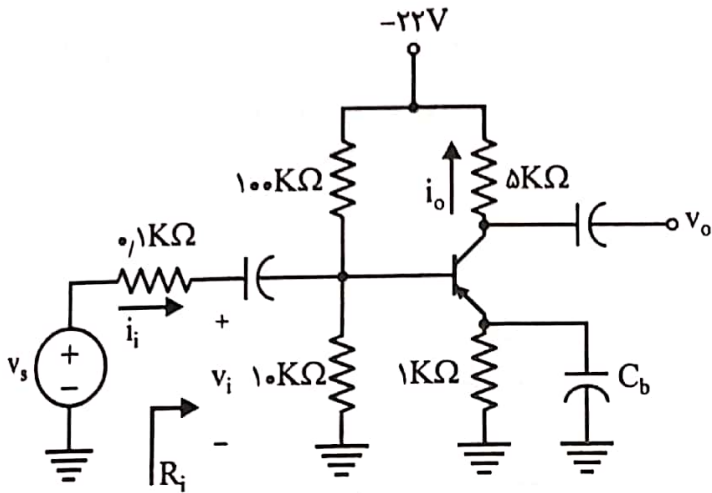
محاسبه است:

• در مدل هیبرید  $\pi$ ، مقاومت  $r_o$  چنین تعریف می‌شود:

$$\frac{1}{r_o} = \left. \frac{\partial i_c}{\partial v_{CE}} \right|_{v_{be}=0} = \frac{I_C}{V_A} \Rightarrow r_o = \frac{V_A}{I_C}$$

که در آن  $V_A$ ، ولتاژ ارلی ترانزیستور است.





شکل ۵-۲۲

۷. در تقویت کننده امیتر مشترک شکل ۵-۲۲،

برای ترانزیستور  $h_{fe} = 100$

$V_T = 26 \text{ mV}$  و  $V_{BE} = 0.7 \text{ V}$  است.

الف) مقادیر کمیت‌های بهره جریان، بهره ولتاژ و مقاومت ورودی را به دست آورید.

ب) اگر فقط نیمی از مقاومت امیتر را توسط خازن کنارگذر  $C_b$  بایпас نمایم،

$A_v$ ،  $R_i$  و  $A_{v_s}$  چقدر خواهند شد؟ این عمل چگونه به خطی تر شدن تقویت کننده

برای سیگنال‌های بزرگ کمک می‌کند؟

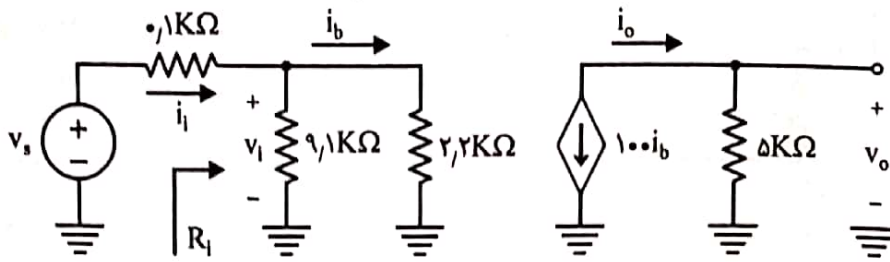
حل: با قرار دادن معادل تونن بیس، جریان نقطه کار را به دست می‌آوریم.

$$R_{Th} = 100 \parallel 10 = 9.1 \text{ K}\Omega, \quad V_{Th} = \frac{-22}{100 + 10} \times 10 = -2 \text{ V}$$

$$I_E = \frac{-V_{Th} - V_{EB}}{R_E + R_{Th} / (1 + h_{fe})} = 1.19 \text{ mA}, \quad I_C = \alpha I_E = 1.18 \text{ mA}$$

$$h_{ie} = h_{fe} \frac{V_T}{I_C} = 2.2 \text{ K}\Omega$$

مدار معادل سیگنال کوچک تقویت کننده در شکل ۲۳-۵ رسم شده است.



شکل ۲۳-۵

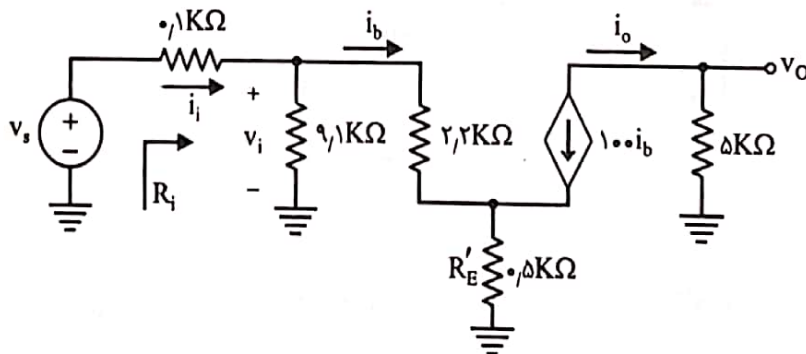
$$v_o = -100 \cdot i_b \times 5 = -500 \cdot i_b = -500 \cdot \left( \frac{v_i}{2.2} \right) = -227.27 v_i \Rightarrow A_v = -227.27$$

$$R_i = 9.1 \parallel 2.2 = 1.77 K\Omega$$

$$A_{v_s} = \frac{v_o}{v_s} = \frac{R_i}{R_i + R_s} A_v = -206.6$$

$$A_i = \frac{i_o}{i_i} = \frac{v_o/5}{v_i/R_i} = \frac{1.77}{5} A_v = -80.45$$

ب) مدار معادل سیگنال کوچک در این حالت به صورت شکل ۲۴-۵ خواهد بود.



شکل ۲۴-۵

$$v_o = -100 \cdot i_b \times 5 = -500 \cdot i_b$$

محاسبه  $A_v$ :

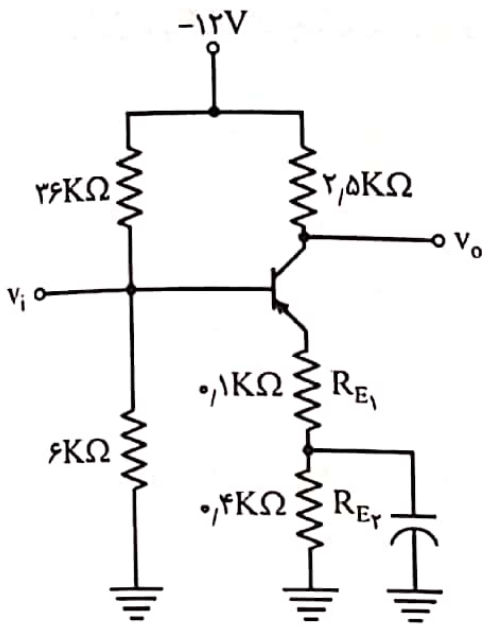
$$v_i = 2.2 i_b + (i_b + 100 \cdot i_b) \times 0.5 = 52.7 i_b \Rightarrow A_v = \frac{v_o}{v_i} = -9.49$$

$$R_i = 9.1 \parallel [h_{ie} + (1 + h_{fe})(R'_E)] = 7.76 K\Omega$$

$$A_{v_s} = \frac{v_o}{v_s} = \frac{R_i}{R_i + R_s} A_v = -9.37$$

$$A_i = \frac{i_o}{i_i} = \frac{v_o/5}{v_i/R_i} = \left( \frac{R_i}{5} \right) A_v = -14.73$$

چون بهره تقویت کننده کم شده است، بنابراین سیگنالهای با دامنه بزرگتری می توانند بدون اعوجاج در خروجی ظاهر شوند.



شکل ۵-۲۵

۸. مدار بصورت کننده شکل ۵-۲۵ ترانزیستور دارای  $V_T = 26\text{ mV}$  و  $V_{EB} = 0.7\text{ V}$ ,  $h_{fe} = 100$  می‌باشد. بهره جریان، بهره ولتاژ و مقاومت ورودی را بیابید.

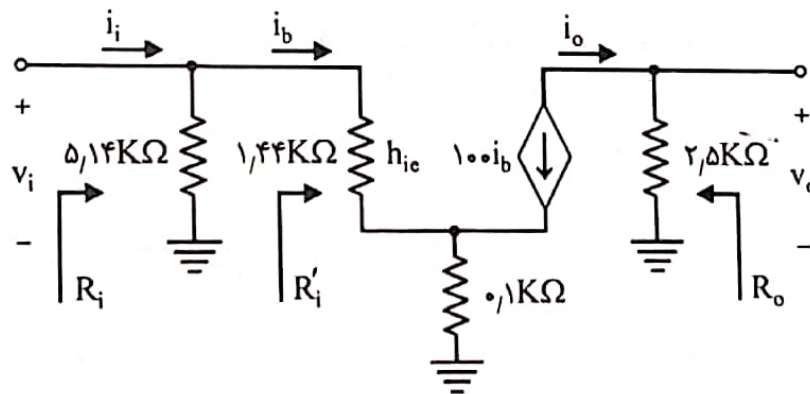
حل: با قرار دادن مدار معادل تونن از دید بیس، نقطه کار را به دست می‌آوریم.

$$R_{Th} = 26 \parallel 6 = 5.14\text{ K}\Omega, \quad V_{Th} = \frac{-12}{26+6} \times 6 = -1.71\text{ V}$$

$$I_E = \frac{-V_{Th} - V_{EB}}{R_{E1} + R_{E2} + R_{Th} / (1+h_{fe})} = 1.83\text{ mA}$$

$$I_C = \alpha I_E = 1.81\text{ mA}, \quad h_{ie} = h_{fe} \frac{V_T}{I_C} = 1.44\text{ K}\Omega$$

مدار معادل سیگنال کوچک تقویت کننده به صورت شکل ۵-۲۶ است.



شکل ۵-۲۶

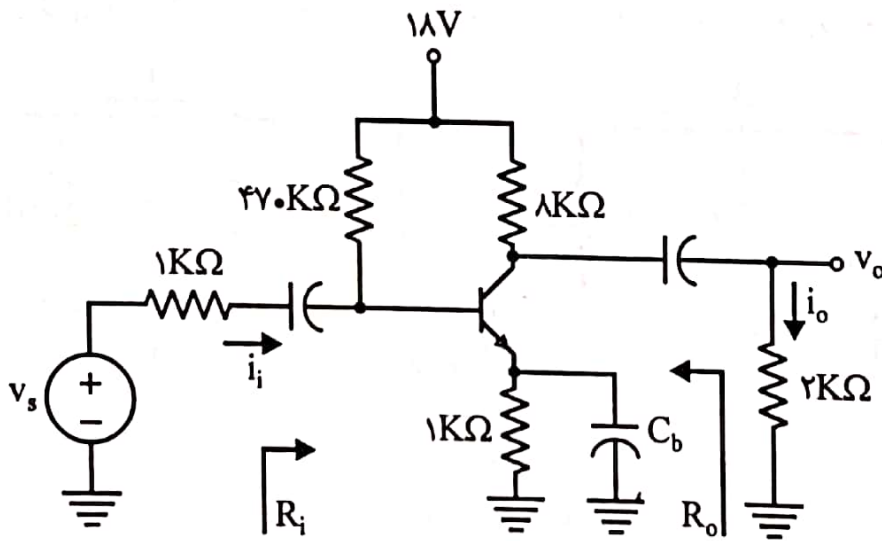
KVL:  $v_i = 1.44 i_b + 0.1(i_b + 100 i_b) = 11.54 i_b$  محاسبه  $R_i$ :

$$\Rightarrow R_i' = \frac{v_i}{i_b} = 11.54\text{ K}\Omega \Rightarrow R_i = R_i' \parallel 5.14 = 3.56\text{ K}\Omega$$

$$v_o = -100 \cdot i_b \times 2.5 = -25 \cdot \left( \frac{v_i}{R_i'} \right) = -21.66 v_i \Rightarrow A_v = \frac{v_o}{v_i} = -21.66$$

$$A_i = \frac{i_o}{i_i} = \frac{v_o / 2.5}{v_i / R_i} = \frac{R_i}{2.5} A_v = -3.08$$

۱۱. در تقویت کننده شکل ۳۲-۵ ترانزیستور دارای  $h_{fe} = 20$ ،  $V_{BE} = 0.7V$  و  $V_T = 26mV$  است. الف) کمیت های  $A_v$ ،  $R_o$ ،  $R_i$  و  $A_{v_s}$  را محاسبه کنید. ب) اگر خازن کنارگذر  $C_b$  را برابر داریم مقادیر جدید  $R_o$  و  $R_i$  چقدر خواهند بود؟



شکل ۳۲-۵

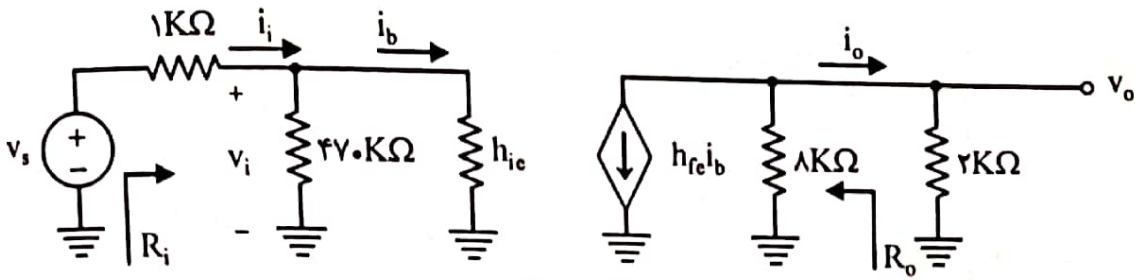
حل: ابتدا نقطه کار را با نوشتن KVL به دست می آوریم.

$$18 = 47 \cdot I_B + V_{BE} + 1 \times I_E, \quad I_E = (1 + h_{fe}) I_B \Rightarrow I_B = 35 \mu A$$

$$I_C = h_{fe} I_B = 0.7 mA, \quad h_{ie} = h_{fe} \frac{V_T}{I_C} = 743 \Omega$$

مدار معادل سیگنال کوچک به صورت شکل ۳۳-۵ خواهد بود.





شکل ۵-۳۳

$$R_i = 470 \parallel h_{ie} = 742 \Omega$$

$$v_o = 2 i_o = -2 h_{fe} i_b \frac{\Lambda}{\Lambda + 2} = -32 i_b, \quad i_b = \frac{v_i}{h_{ie}} \Rightarrow A_v = \frac{v_o}{v_i} = -43$$

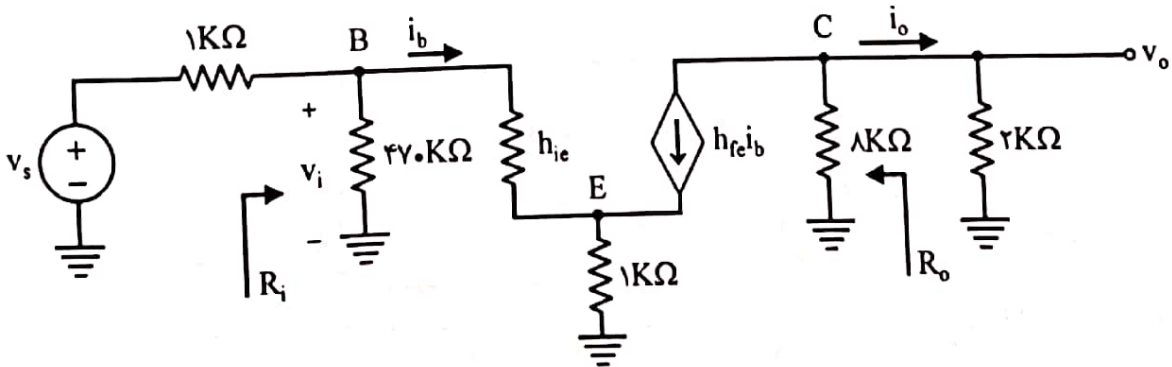
$$i_o = -h_{fe} i_b \frac{\Lambda}{\Lambda + 2} = -16 i_b, \quad i_b = \frac{470}{470 + h_{ie}} i_i \quad \text{محاسبه } A_i$$

$$\Rightarrow A_i = \frac{i_o}{i_i} = -16 \left( \frac{470}{470 + h_{ie}} \right) \approx -16$$

$$A_{v_s} = \frac{v_o}{v_s} = \frac{R_i}{R_s + R_i} A_v = -18.3$$

برای محاسبه  $R_o$ ، اگر منبع سیگنال ورودی را حذف کنیم  $i_b = 0$  خواهد بود و در نتیجه  $R_o = 8K\Omega$  دست می‌آید.

ب) اگر خازن کنار گذر  $C_b$  را حذف کنیم، مدار معادل سیگنال کوچک به صورت شکل ۵-۳۴ خواهد بود.



شکل ۵-۳۴

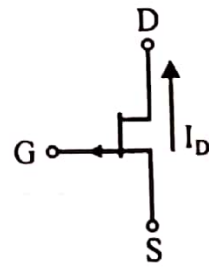
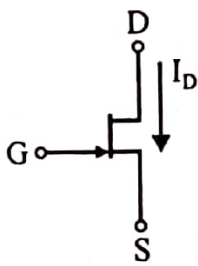
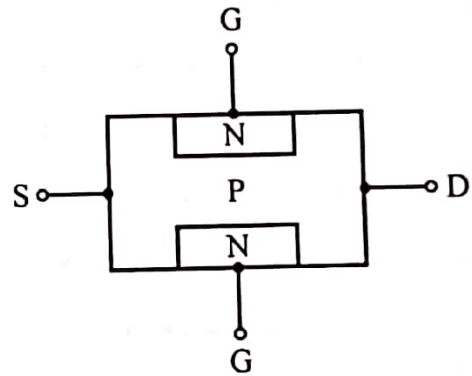
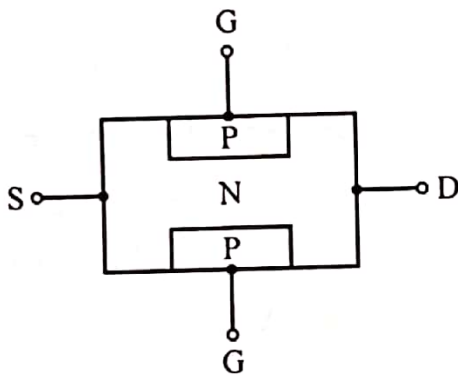
$$R_i = 470 \parallel [h_{ie} + (1 + h_{fe}) R_E] = 20.78 K\Omega$$

اگر منبع سیگنال ورودی  $v_s$  صفر شود، از KVL در حلقه BE می‌توان دید که  $i_b = 0$  و در نتیجه  $R_o = 8K\Omega$  به دست می‌آید.

# ترانزیستورهای اثر میدان

## ۱-۶ چکیده

● نماد مداری و شمای ساده‌ای از ساختمان دو نوع ترانزیستور اثر میدان (کانال P و کانال N) در شکل ۱-۶ نمایش داده شده است.



ب) ترانزیستور اثر میدان نوع کانال N (N-JEET)

الف) ترانزیستور اثر میدان نوع کانال P (P-JEET)

### شکل ۱-۶

- ترانزیستور اثر میدان را می‌توان یک منبع جریان کنترل شونده توسط ولتاژ (میدان الکتریکی) در نظر گرفت.
- حرکت حاملهای بار الکتریکی از طرف سورس (منبع) به طرف درین (چاه)، جریان درین را به وجود می‌آورد که توسط میدان الکتریکی اعمال شده از سرگیت، کنترل می‌شود.

- در ترانزیستور اثر میدان، جریان الکتریکی فقط ناشی از حاملهای اکثریت می باشد.
- چنانچه گیت (G) مدار باز باشد، قطعه درین - سورس (DS) یک مقاومت الکتریکی معمولی خواهد بود.
- پیوند P-N بین سرهای گیت و سورس همواره به صورت معکوس بایاس می گردد. بنابراین معمولاً جریان سرگیت با صرف نظر از جریان اشباع معکوس، صفر در نظر گرفته می شود. از این رو JFET دارای مقاومت ورودی بزرگی خواهد بود.
- بایاس معکوس پیوند GS باعث ایجاد ناحیه تهی در کانال می شود. عرض ناحیه تهی و در نتیجه عرض کانال توسط ولتاژ اعمال شده به پیوند GS قابل کنترل است. افزایش عرض ناحیه تهی و در نتیجه کاهش عرض کانال باعث افزایش مقاومت کانال بین سرهای درین و سورس شده و جریان را کاهش می دهد و بالعکس.
- برای ولتاژهای  $|V_{DS}|$  کوچک، بایاس معکوس پیوند GS باعث ایجاد یک ناحیه تهی متقارن حول ناحیه گیت در کانال می گردد. از این رو یک مقاومت خطی بین سرهای درین و سورس داریم که با افزایش ولتاژ معکوس پیوند GS مقدار این مقاومت افزایش می یابد. این ناحیه از کار JFET را مقاومت کنترل شده با ولتاژ (VCR) گویند. در این ناحیه زمانی که ولتاژ معکوس پیوند GS به مقدار معینی به نام  $V_p$  برسد، تمام کانال توسط ناحیه تهی پوشیده شده و جریان درین ( $I_D$ ) صفر می گردد.  $V_p$  را ولتاژ فشردگی (Pinch-off) گویند که از مشخصات JFET است.
- برای ولتاژهای  $|V_{DS}|$  نسبتاً بزرگتر، پیوند DG نیز به صورت معکوس بایاس شده و در نتیجه ناحیه تهی و عرض کانال غیر متقارن می گردد، به گونه ای که کانال در مجاورت ناحیه درین باریک تر می شود. در  $|V_{GS}|$  ثابت با افزایش ولتاژ  $|V_{DS}|$ ، ولتاژ معکوس پیوند DG نیز افزایش می یابد و زمانی که به مقدار  $V_p$  برسد، کانال در طرف ناحیه درین توسط ناحیه تهی مسدود می شود. از این به بعد افزایش ولتاژ  $|V_{DS}|$  افزایشی در جریان درین ایجاد نکرده و جریان  $I_D$  ثابت و به حد اشباع خود ( $I_{DSS}$ ) خواهد رسید. چرا که افزایش این ولتاژ در دو سر ناحیه تهی افت می کند و چنانچه بیش از حد اضافه گردد در اثر پدیده ضرب بهمنی، پیوند P-N گیت - درین شکسته شده و جریان  $I_D$  افزایش ناگهانی خواهد داشت.
- جریان اشباع درین به سورس در حالت  $|V_{GS}| = 0$  را با  $I_{DSS}$  نمایش می دهند. با توجه به اینکه پیوند GS همواره به صورت معکوس بایاس می گردد، برای مقادیر  $|V_{GS}| \neq 0$  عرض قسمتی از کانال که در مجاورت ناحیه سورس بوده و مسدود نگردیده است نسبت به حالت  $|V_{GS}| = 0$  کوچک تر می باشد؛ بنابراین همیشه  $I_D \leq I_{DSS}$  خواهد بود.
- برای N-JFET، کانال از نوع N بوده و جریان توسط الکترونها ایجاد می شود؛ همچنین  $V_{DS} \geq 0$ ،  $V_p < 0$ ،  $V_{GS} \leq 0$  و جهت  $I_D$  از درین به سورس است. برای P-JFET، کانال از نوع P بوده و جریان توسط حفره ها ایجاد می شود؛ همچنین  $V_{DS} \leq 0$ ،  $V_p > 0$ ،  $V_{SG} \leq 0$  و جهت  $I_D$  از سورس به درین می باشد.

## نواحی کار JFET

● بر روی مشخصه خروجی JFET دو ناحیه اشباع (فشردگی یا فعال یا Pinch-off) و تریود (اهمیک) قابل تمایز است. در ناحیه اشباع کانال در طرف ناحیه درین مسدود شده و جریان  $I_D$  ثابت (اشباع) شده است، ولی در ناحیه تریود کانال در طرف درین مسدود نمی‌باشد.

● معمولاً جریان  $I_D$  و ولتاژ  $V_{GS}$  یا  $V_{DS}$  به عنوان مختصات نقطه کار JFET در نظر گرفته می‌شوند. با استفاده از مدار بایاس مناسب، می‌توان نقطه کار را در ناحیه اشباع یا تریود قرار داد.

● برای روشن شدن JFET، می‌باید پیوند GS به صورت معکوس بایاس شود ولی نه به اندازه‌ای که کانال کاملاً مسدود شود.

## الف) شرایط ناحیه اشباع

الف) JFET روشن باشد. (ب) بالای کانال مسدود گردد.

در مورد N-JFET داریم

$$V_P \leq V_{GS} \leq 0.75V \quad \text{الف)} \quad V_{DG} \geq -V_P \quad \text{ب)}$$

در مورد P-JFET داریم

$$-V_P \leq V_{SG} \leq 0.75V \quad \text{الف)} \quad V_{GD} \geq V_P \quad \text{ب)}$$

در ناحیه اشباع جریان  $i_D$  مستقل از ولتاژ  $v_{DS}$  بوده و طبق معادله شاکلی به صورت زیر با ولتاژ  $v_{GS}$  رابطه دارد و برای هر دو نوع JFET صحیح است.

$$i_D = I_{DSS} \left( 1 - \frac{v_{GS}}{V_P} \right)^2$$

## ب) شرایط ناحیه تریود

الف) JFET روشن باشد. (ب) بالای کانال مسدود نگردد.

در مورد N-JFET داریم

$$V_P \leq V_{GS} \leq 0.75V \quad \text{الف)} \quad V_{DG} \leq -V_P \quad \text{ب)}$$

در مورد P-JFET داریم

$$-V_P \leq V_{SG} \leq 0.75V \quad \text{الف)} \quad V_{GD} \leq V_P \quad \text{ب)}$$

در این ناحیه جریان  $i_D$  تابعی از  $v_{DS}$  و  $v_{GS}$  به صورت زیر است و برای هر دو نوع JFET صحیح می‌باشد.

$$i_D = I_{DSS} \left[ 2 \left( \frac{v_{GS}}{V_P} - 1 \right) \frac{v_{DS}}{V_P} - \left( \frac{v_{DS}}{V_P} \right)^2 \right]$$

● اگر  $|v_{DS}|$  کوچک باشد با توجه به معادله مربوط به ناحیه تریود، رابطه  $i_D$  و  $v_{DS}$  به صورت زیر در می‌آید که مفهوم آن وجود یک مقاومت خطی  $r_{DS}$  بین درین و سورس است.



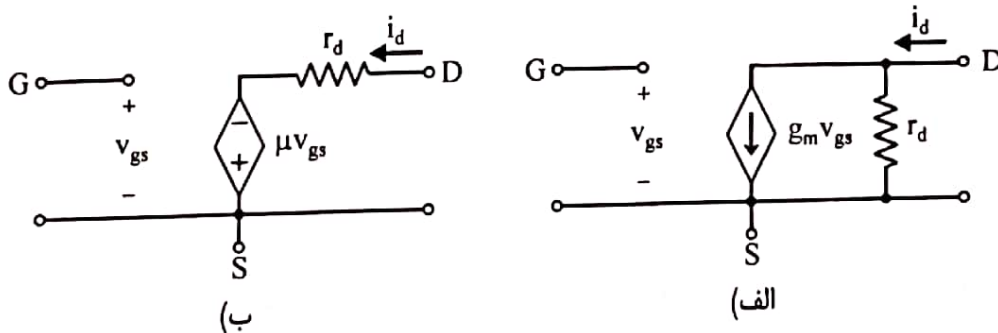
$$i_D = I_{DSS} \left[ \gamma \left( \frac{v_{GS}}{V_P} - 1 \right) \frac{v_{DS}}{V_P} \right]$$

$$r_{DS} = \frac{v_{DS}}{i_D} \bigg|_{v_{DSQ}} = \left[ \frac{\gamma I_{DSS}}{V_P} \left( \frac{v_{GS}}{V_P} - 1 \right) \right]^{-1}$$

$r_{DS}$  همان مقاومت کنترل شده توسط ولتاژ  $v_{GS}$  می باشد که قبلاً به آن اشاره شد.

● برای استفاده از JFET به عنوان تقویت کننده، آن را در ناحیه اشباع بایاس می کنند. تقویت کننده های JFET دارای مقاومت ورودی بزرگ و بهره ولتاژ نسبتاً کم می باشند؛ از این رو بیشتر به عنوان طبقه ورودی در تقویت کننده های چند طبقه به کار می روند.

● برای مدل سیگنال کوچک JFET در فرکانسهای پایین یکی از مدارهای معادل شکل ۶-۲ را می توان به کار برد.



شکل ۶-۲

با توجه به شکل ۶-۲ الف معادله سیگنال کوچک در JFET به صورت زیر است:

$$i_d = g_m v_{gs} + (1/r_d) v_{ds}$$

پارامترهای  $g_m$ ،  $\mu$  و  $r_d$  به ترتیب هدایت انتقالی، بهره ولتاژ و مقاومت دینامیکی درین نامیده شده و به صورت زیر قابل محاسبه هستند:

$$g_m = \frac{\partial i_D}{\partial v_{GS}} \bigg|_{v_{DSQ}} = \frac{\gamma I_{DSS}}{|V_P|} [I_D/I_{DSS}]^{1/2}, \quad \mu = g_m r_d$$

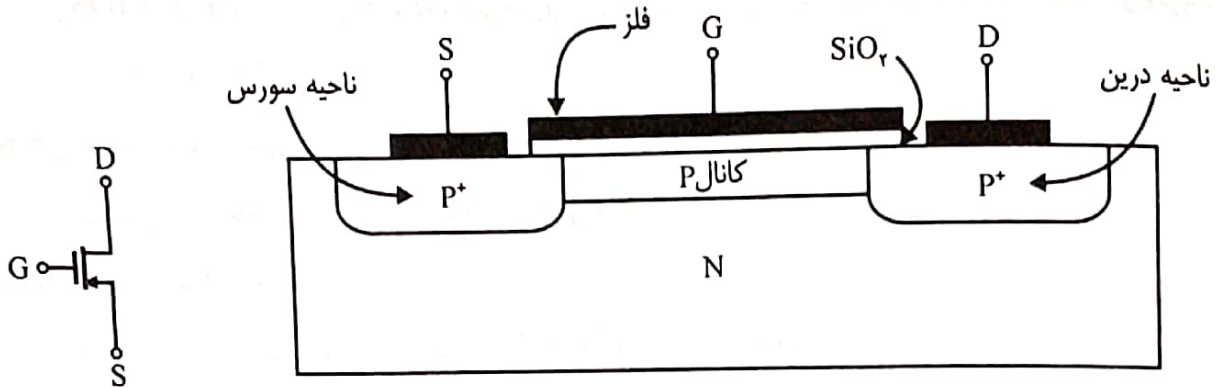
● در تحلیل سیگنال کوچک بعضی از مدارها، استفاده از انعکاس منابع و مقاومتها از دید درین و سورس، مسأله را بسیار ساده تر می کند.

انعکاس از دید درین: از دید درین منابع و مقاومتها موجود در سورس در  $(1 + \mu)$  و منابع گیت در  $\mu$  ضرب می گردد.

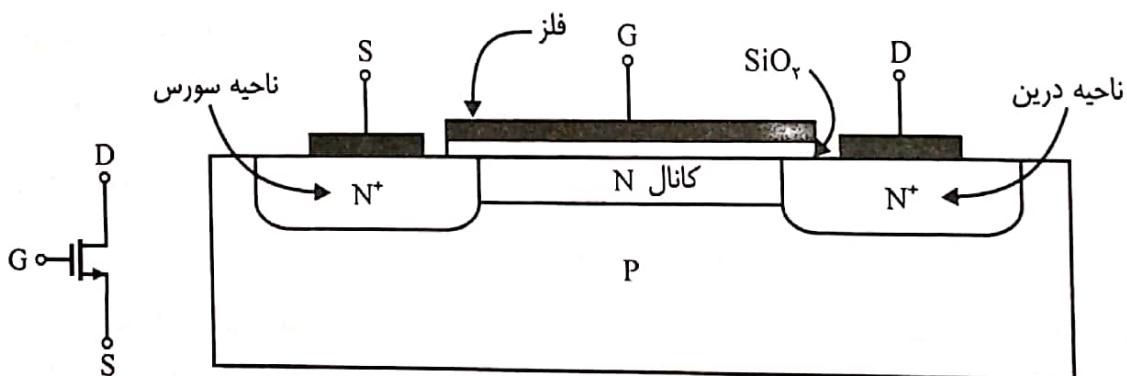
انعکاس از دید سورس: از دید سورس منابع و مقاومتها موجود در درین در  $1/(1 + \mu)$  و منابع گیت در  $\mu/(1 + \mu)$  ضرب می گردند. دقت کنید که در این حالت  $r_d$  نیز از درین به سورس منعکس گردد.

## مسفت نوع تهی

● نماد مداری و شمای ساده‌ای از ساختمان مسفتهای (MOSFET) نوع تهی در شکل ۳-۶ نشان داده شده است.



الف) ساختمان مسفت نوع تهی کانال P



ب) ساختمان مسفت نوع تهی کانال N

شکل ۳-۶

● مسفت نوع تهی دارای رفتاری شبیه JFET می‌باشد با این تفاوت که ولتاژ  $V_{GS}$  برای NMOS و  $V_{SG}$  برای PMOS می‌توانند مقادیر مثبت نیز بگیرند. در این حالت نه تنها در کانال ناحیه تهی نخواهیم داشت بلکه میزان حاملهای اکثریت ارتقاء نیز می‌یابند. معمولاً از مسفتهای نوع تهی در این حالت استفاده نمی‌شود. در صورتی که ولتاژهای مذکور منفی باشند کلیه شرایط، نواحی کار و روابط جریان-ولتاژ مسفت مشابه JFET می‌باشد.

## مسفت نوع ارتقای

● نوع دیگر مسفت، ارتقای (افزایشی) نام دارد که دارای ساختمانی شبیه نوع تهی است با این تفاوت که کانال بین درین و سورس از ابتدا تعبیه نگردیده و پس از بایاس کردن آن به وجود می‌آید. وقتی ولتاژ  $|V_{GS}|$  به مقدار معینی به نام ولتاژ آستانه ( $|V_T|$ ) برسد، با جمع شدن حاملهای اقلیت ناحیه پایه در حوالی گیت، کانالی بین درین و سورس ایجاد می‌گردد. در این صورت جریان  $I_D$  می‌تواند بین درین و سورس برقرار شود و یا اصطلاحاً مسفت روشن می‌گردد. نماد مداری مسفت ارتقای نیز همانند نمادهای فوق می‌باشد و تنها با استفاده از مشخصات مسفت، نوع تهی و ارتقای بودن آن تشخیص داده می‌شود.

● برای NMOS ارتقایی،  $V_T > 0$  بوده و شرط روشن بودن آن  $V_{GS} > V_T$  می باشد و جهت جریان  $I_D$  از درین به سورس است.

● برای PMOS ارتقایی،  $V_T < 0$  بوده و شرط روشن بودن آن  $V_{SG} > -V_T$  می باشد و جهت جریان  $I_D$  از سورس به درین است.

### نواحی کار مسفت ارتقایی

مسفت پس از اینکه روشن شد، می تواند در یکی از نواحی اشباع یا تریود کار کند.

#### الف) شرایط ناحیه اشباع

الف) مسفت روشن باشد. ب) کانال در طرف درین مسدود شود.

در مورد NMOS داریم

$$V_{GS} > V_T \quad \text{الف)}$$

$$V_{DG} > -V_T \quad \text{ب)}$$

در مورد PMOS داریم

$$V_{SG} > -V_T \quad \text{الف)}$$

$$V_{GD} > V_T \quad \text{ب)}$$

در ناحیه اشباع جریان  $I_D$  برابر است با

$$I_D = \frac{K}{2} (V_{GS} - V_T)^2$$

در این رابطه  $K$  پارامتری مثبت است که به صورت زیر تابع طول کانال ( $L$ )، عرض کانال ( $W$ )، ضخامت لایه اکسید ( $t_{ox}$ )، جنس لایه اکسید ( $\epsilon_{ox}$ ) و قابلیت تحرک حاملها در ناحیه کانال است.

$$K = \mu_p C_{ox} \left( \frac{W}{L} \right) \quad \text{یا} \quad K = \mu_n C_{ox} \left( \frac{W}{L} \right), \quad C_{ox} = \frac{\epsilon_{ox}}{t_{ox}}$$

در عبارت فوق مقدار ثابت  $K'_n = \mu_n C_{ox}$  را پارامتر رسانایی انتقالی فرایند ساخت مسفت گویند.

#### ب) شرایط ناحیه تریود

الف) مسفت روشن باشد. ب) کانال در طرف درین مسدود نشده باشد.

در مورد NMOS داریم

$$V_{GS} > V_T \quad \text{الف)}$$

$$V_{DG} < -V_T \quad \text{ب)}$$

در مورد PMOS داریم

$$V_{SG} > -V_T \quad \text{الف)}$$

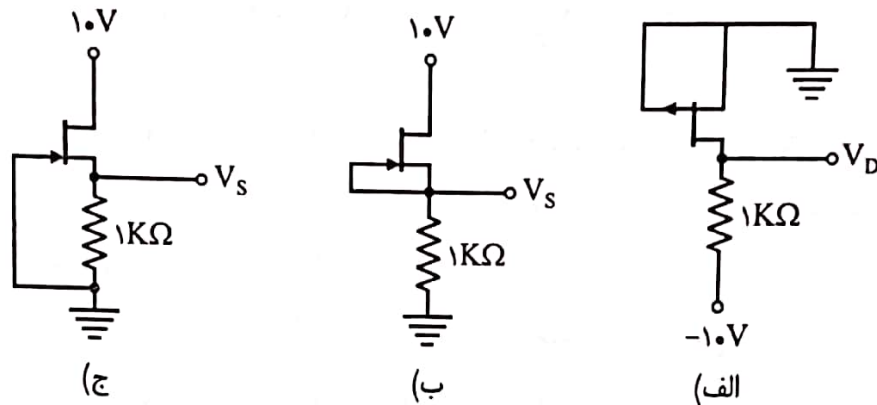
$$V_{GD} < V_T \quad \text{ب)}$$

در ناحیه تریود جریان  $I_D$  برابر است با

$$I_D = K [(V_{GS} - V_T) V_{DS} - \frac{1}{2} V_{DS}^2]$$

۲-۶ مسائل نمونه

۱. در مدارهای شکل ۴-۶ ترانزیستورها دارای مشخصات  $I_{DSS} = 4\text{mA}$  و  $|V_P| = 2\text{V}$  می باشند. ناحیه کار ترانزیستورها و مقدار ولتاژهای نشان داده شده را به دست آورید.



شکل ۴-۶

حل: الف)

$V_{GS} = 0 \Rightarrow I_D = I_{DSS} = 4\text{mA}$  ,  $V_D = 1 \times I_D - 10 = -6\text{V}$  ,  $V_{GD} = 6 > V_P$   
 پس ترانزیستور در ناحیه اشباع قرار دارد.  
 (ب)

$V_{GS} = 0 \Rightarrow I_D = I_{DSS} = 4\text{mA}$  ,  $V_S = 1 \times I_D = 4\text{V}$  ,  $V_{DG} = 10 - V_S = 6 > -V_P$   
 بنابراین ترانزیستور در ناحیه اشباع قرار دارد

$$V_{GS} + 1 \times I_D = 0 \text{ , } I_D = I_{DSS} \left( 1 - \frac{V_{GS}}{V_P} \right)^2 \Rightarrow V_{GS} = -1\text{V} \text{ , } V_{GS} = -4\text{V} \quad \text{(ج)}$$

با توجه به شرایط اشباع یعنی  $V_{GS} > V_P$  پاسخ  $V_{GS} = -4\text{V}$  قابل قبول نیست و داریم

$$V_{GS} = -1\text{V} \Rightarrow I_D = 1\text{mA} \text{ , } V_S = 1\text{V}$$



۶. در مدار شکل ۶-۷، JFET دارای  $I_{DSS} = 9\text{mA}$  و  $V_P = 3\text{V}$  می باشد. ناحیه کار ترانزیستور را تعیین کنید.

حل: فرض می کنیم که JFET در ناحیه اشباع کار می کند.

$$V_{GS} = V_G - (15 - R_S I_D) \quad , \quad V_G = \frac{15}{50 + 100} \times 100 = 10\text{V}$$

$$\Rightarrow V_{GS} = -5 + 7I_D \quad , \quad I_D = I_{DSS} \left( 1 - \frac{V_{GS}}{V_P} \right)^2$$

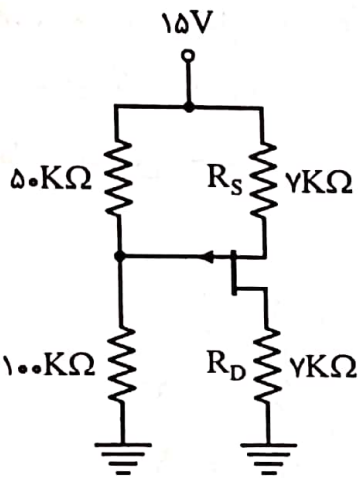
$$\Rightarrow 49I_D^2 - 113I_D + 64 = 0$$

$$\Rightarrow I_D = \begin{cases} 1\text{mA} \\ 1,31\text{mA} \end{cases} \Rightarrow V_{GS} = \begin{cases} 2\text{V} \\ 4,17\text{V} \end{cases}$$

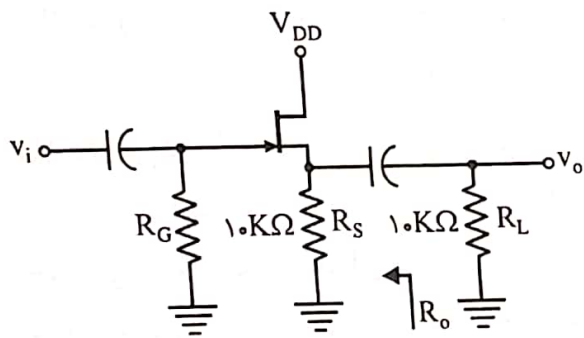
که با توجه به مقدار  $V_P = 3\text{V}$ ، مقادیر قابل قبول  $I_D = 1\text{mA}$  و  $V_{GS} = 2\text{V}$  می باشند. جهت بررسی فرض ناحیه اشباع، ولتاژ  $V_{GD}$  را به دست می آوریم.

$$V_{GD} = V_G - R_D I_D = 3 = V_P$$

بنابراین JFET در مرز ناحیه اشباع قرار دارد.

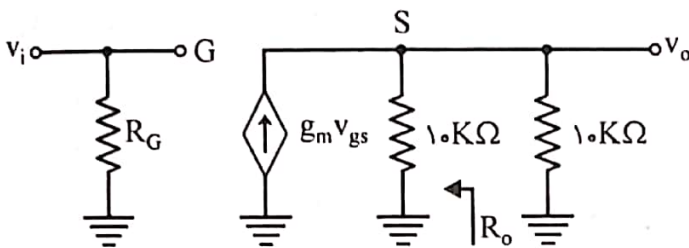


شکل ۶-۷



شکل ۶-۲۳

۱۶. در مدار تقویت کننده شکل ۶-۲۳، ترانزیستور دارای  $g_m = 2\text{mA/V}$  است. مقادیر  $A_v$  و  $R_o$  را به دست آورید.



شکل ۶-۲۴

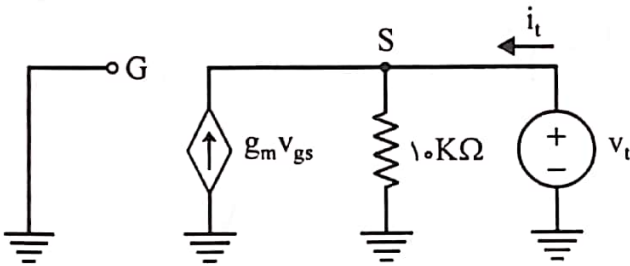
حل: مدار معادل سیگنال کوچک تقویت کننده در شکل ۶-۲۴ رسم شده است.

$$v_o = g_m v_{gs} (10 \parallel 10) = 10 v_{gs}$$

$$= 10 (v_g - v_s) = 10 (v_i - v_o)$$

$$\Rightarrow A_v = \frac{v_o}{v_i} = \frac{10}{11}$$

برای محاسبه  $R_o$ ، یک منبع آزمایشی در خروجی قرار داده و ورودی را صفر می‌کنیم (شکل ۶-۲۵).

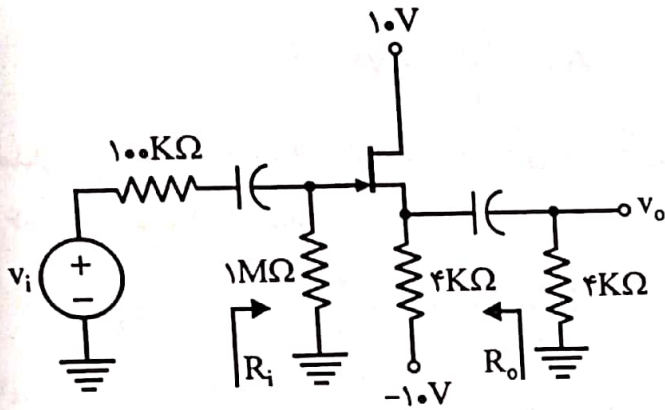


شکل ۶-۲۵

$$\text{KCLS: } i_t + g_m v_{gs} = \frac{v_t}{10}$$

$$v_{gs} = v_g - v_s = -v_t$$

$$\Rightarrow i_t - g_m v_t = \frac{v_t}{10} \Rightarrow R_o = \frac{v_t}{i_t} = \frac{1}{\frac{1}{10} + g_m} = 476 \Omega$$



شکل ۳۵-۶

۱۹. در تقویت کننده سورس فالوئر شکل ۳۵-۶

بهره ولتاژ، مقاومت ورودی و مقاومت خروجی را محاسبه نمایید. ترانزیستور دارای  $V_P = -4V$  و  $I_{DSS} = 12mA$  است.

حل: با توجه به اینکه  $V_{DG} = 10V$  است پس ترانزیستور در ناحیه اشباع قرار دارد. بنابراین

$$V_{GS} = 10 - 4I_D, \quad I_D = I_{DSS} \left( 1 - \frac{V_{GS}}{V_P} \right)^2$$

$$\Rightarrow 12I_D^2 - 85I_D + 147 = 0$$

از حل معادله فوق داریم

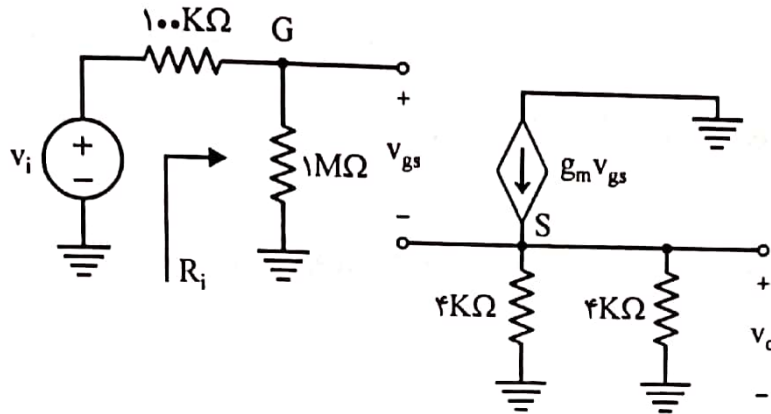
$$I_D = \begin{cases} 4.083mA \\ 3mA \end{cases} \Rightarrow V_{GS} = \begin{cases} -6.33V \\ -2V \end{cases}$$

که با توجه به محدوده ناحیه اشباع پاسخ  $I_D = 4.083mA$  و  $V_{GS} = -6.33V$  قابل قبول نیست.

$$g_m = \frac{2I_{DSS}}{|V_P|} [I_D/I_{DSS}]^{1/2} = 3mA/V$$

مدار معادل سیگنال کوچک تقویت کننده در شکل ۳۶-۶ رسم شده است.





شکل ۶-۳۶

$$R_i = 1M\Omega$$

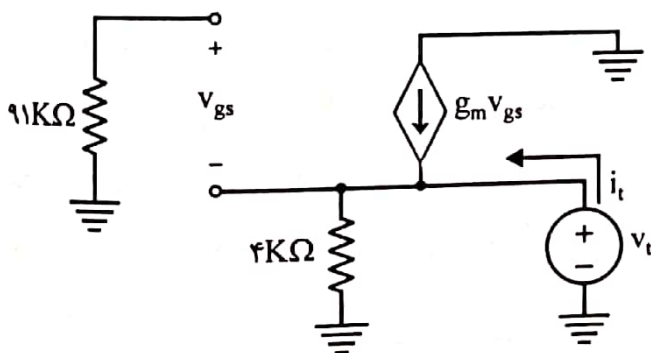
$$v_o = g_m v_{gs} (4 \parallel 4) = 6 v_{gs}$$

محاسبه  $A_v$ :

$$v_{gs} = v_g - v_s = \frac{v_i}{100 + 1000} \times 1000 - v_o = 0.91 v_i - v_o$$

$$\Rightarrow v_o = 6(0.91 v_i - v_o) \Rightarrow A_v = \frac{v_o}{v_i} = 0.778$$

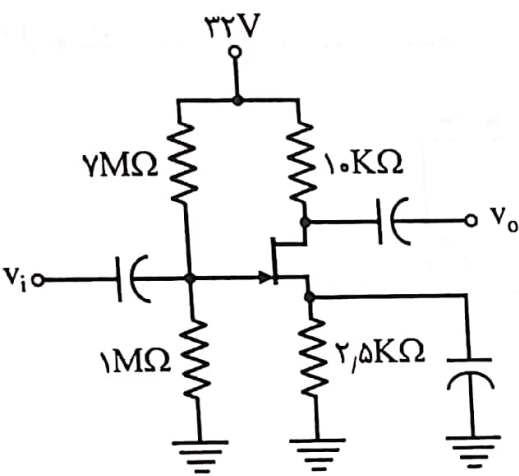
مدار مربوط به محاسبه مقاومت خروجی در شکل ۶-۳۷ رسم شده است.



شکل ۶-۳۷

$$i_t = -g_m v_{gs} + \frac{v_t}{4}, \quad v_{gs} = -v_t$$

$$\Rightarrow i_t = g_m v_t + \frac{v_t}{4} \Rightarrow R_o = \frac{v_t}{i_t} \approx 3.77 \Omega$$



شکل ۴۱-۶

۲۱. بهره ولتاژ و مقاومت ورودی تقویت کننده شکل ۴۱-۶ را محاسبه کنید. ترانزیستور دارای  $I_{DSS} = 8\text{mA}$  و  $V_P = -2\text{V}$  می باشد.

حل:  $V_G = \frac{32}{7+1} \times 1 = 4\text{V}$  ,  $R_G = 7 \parallel 1 = \frac{7}{8}\text{M}\Omega$

$$V_{GS} = 4 - 2.5 I_D \quad , \quad I_D = I_{DSS} \left( 1 - \frac{V_{GS}}{V_P} \right)^2$$

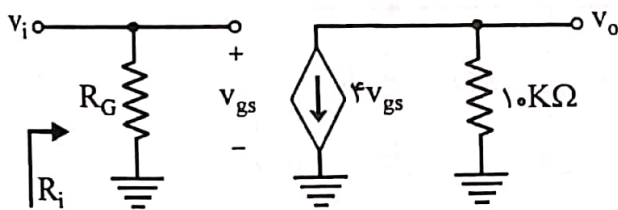
$$\Rightarrow 12.5 I_D^2 - 61 I_D + 72 = 0$$

$$\Rightarrow I_D = 2\text{mA} \quad , \quad V_{GS} = -1\text{V}$$

پاسخ  $I_D = 2.88 \text{ mA}$  و  $V_{GS} = -3.2 \text{ V}$  قابل قبول نیست.

$$g_m = \frac{2 I_{DSS}}{|V_P|} [I_D / I_{DSS}]^{1/2} = 4 \text{ mA/V}$$

$$V_{DG} = V_D - V_G = (32 - 10 I_D) - 4 = 8 > -V_P = 2$$



بنابراین ترانزیستور در ناحیه اشباع کار می‌کند. مدار معادل سیگنال کوچک در شکل ۴۲-۶ رسم شده است.

$$R_i = R_G = \frac{V}{A} \text{ M}\Omega$$

$$\text{شکل ۴۲-۶} \quad v_o = -4 v_{gs} \times 10 = -40 v_{gs} = -40 v_i \Rightarrow A_v = \frac{v_o}{v_i} = -40$$